



Hlubková analýza fenoménu UFO/UAP

Vypracoval Mgr. Jaroslav Svoboda

Od konce srpna 2025 buduji webový mapový projekt pro analýzu UFO/UAP fenoménu. Součástí projektu je rozsáhlý datový soubor obsahující stovky tisíc hlášení o neidentifikovaných anomálních jevech (UAP), historicky označovaných jako neidentifikované létající objekty (UFO).

V posledních desetiletích prošlo studium těchto fenoménů epistemologickým posunem od okrajové pseudovědecké fascinace k serióznímu akademickému a vládnímu výzkumu, což dokládá i nedávné zapojení institucí, jako je americký úřad AARO (All-domain Anomaly Resolution Office), výpovědi významných státních a vojenských zaměstnanců institucí USA před Kongresem či zprávy agentury NASA.¹ Moje předložená analytická zpráva vychází z mé sloučené databáze, která syntetizuje data z veřejně dostupných globálních i lokálních zdrojů (včetně databází NUFORC, GEIPAN a projektu Záře), jež k únoru 2026 obsahuje celkem 323 729 validních záznamů mapujících období od počátku 20. století do současnosti.⁴

Cílem této zprávy je analýza mých výzkumných materiálů (zahrnujících CSV exporty, PDF reporty a rozsáhlé rešeršní záznamy) s cílem identifikovat skryté vzorce chování UFO/UAP fenoménu. Analýza rámcově pokrývá vývoj fenoménu v čase a prostoru, kritické souvislosti s vojenskou infrastrukturou a jadernými zařízeními, formativní vliv popkultury a mediálního diskurzu na četnost hlášení a v neposlední řadě také hlubší psychologické aspekty, jako je tzv. fenomén vysoké podivnosti (high strangeness) a kognitivní dopady na pozorovatele.

1. Strukturální a statistický profil datové základny

Aby bylo možné z obrovského množství anekdotických i přístrojově podložených hlášení extrahovat signál od šumu, je nutné nejprve pochopit strukturu vstupních dat. Moje primární CSV databáze, jež slouží jako základ pro mapování, využívá standardizovanou dvanáctisloupcovou architekturu.⁴ Mezi klíčové parametry patří přesná časová známka (datetime), geografická lokace s přesností na úroveň města a státu podložená geodetickými souřadnicemi (latitude/longitude), morfologická klasifikace objektu (shape), kvantifikovaná doba trvání úkazu a nestrukturované textové pole (comments), které obsahuje narativní popis události z pohledu svědků.⁴ Právě textové poznámky jsou z analytického hlediska nejcennější, neboť obsahují data využitelná pro zpracování přirozeného jazyka (NLP) k identifikaci psychologických interakcí či anomálních letových vlastností pozorovaných fenoménů.

Automatizovaný systém mé interaktivní webové mapy kategorizoval celou databázi čítající přes 300 000 záznamů do jedenácti specifických analytických misí (jsou dostupné přes tlačítko HLOUBKOVÁ ANALÝZA), které odhalují fundamentální charakteristiku fenoménu. Následující tabulka (na druhé stránce) prezentuje vybrané makro-kategorie, jejich kvantitativní zastoupení, rok nejvyššího výskytu a dominantní morfologii⁴:

Analytická kategorie (téma hlášení)	Celkový počet validních záznamů	Rok maximální aktivity	Dominantní hlášený tvar
Trojúhelníky	20 940	2012	Trojúhelník
Tichý let	12 444	2012	Trojúhelník
Extrémní rychlost	11 881	2012	Světlo (Light)
Tic-Tac / Doutník / Válec	11 881	2012	Doutník (Cigar)
Vodní světy (blízkost velkých vodních ploch)	9 055	2012	Světlo (Light)
Letecká pozorování	8 476	2013	Disk
Vojenské / Radarové detekce	3 955	1952	Disk
Jaderná stopa (blízkost jaderných elektráren či vojenských jaderných zařízení)	1 501	1967	Disk
Hromadná pozorování	953	1966	Disk
Psychologický dopad	477	1977	Disk
Důvěryhodný svědek	422	1952	Světlo (Light)

Z prezentovaných statistik vyplývá zcela zásadní analytický závěr: existuje diametrální rozdíl mezi historickými a moderními pozorováními. Zatímco kategorie spojené s počátky studené války, armádou, radary a jadernou hrozbou vykazují maxima v 50. a 60. letech 20. století a dominuje jim klasický tvar „disku“ (létajícího talíře), masové datové sety definující moderní éru (trojúhelníky, tichý let, Tic-Tac tvary a vodní interakce) vrcholí jednotně v roce 2012.⁴ Tento zlom ukazuje na silnou korelaci mezi metodologií sběru dat, společenskými vlivy a technologickou kapacitou svědků. Morfologická analýza podkategorie „Tic-Tac“, jejíž pojmenování zlidovělo po incidentu letadlové lodi USS Nimitz v roce 2004, dále rozkládá popsanych téměř dvanáct tisíc záznamů na 7 724 doutníků (cigar), 4 071 válců (cylinder) a 22 kapslí (capsule).⁴ Současně tato podkategorie vykazuje téměř symetrickou korelaci s denní dobou (5 859 hlášení v noci vs. 5 260 přes den), což z pohledu pravděpodobnostního modelování prokazuje, že tyto objekty nelze jednoduše odmítnout jako noční optické iluze nebo běžné atmosférické jevy.⁴

2. Časoprostorový vývoj a morfologická evoluce fenoménu

Časová osa fenoménu UAP není lineární; vykazuje cyklické exploze aktivity, takzvané „vlny“ nebo-li „flaps“, které se často shodují s technologickými průlomy lidstva a místně či časově aktuálním geopolitickým napětím. Ačkoli anomální jevy na obloze byly zaznamenávány již v antice a středověku (kde byly interpretovány prizmatem tehdejšího náboženského a mytologického rámce jako nebeská znamení či vozy bohů), moderní éra, z níž těží naše databáze, začala po druhé světové válce.⁶

2.1 Poválečné období a vznik narativu létajícího talíře (1946–1947)

Bezprostředně po druhé světové válce, v roce 1946, zachvátila Skandinávii a část východní Evropy vlna pozorování tzv. „raket duchů“ (ghost rockets), o nichž se spekulovalo, že jde o ukoristěné německé zbraně V-2 testované Sovětským svazem.⁸ Skutečný zlom v globální percepci však nastal 24. června 1947, kdy americký soukromý pilot Kenneth Arnold nahlásil formaci devíti zářivých objektů pohybujících se nevídanou rychlostí (odhadovanou na 1 200 až 1 700 mil za hodinu) v blízkosti Mount Rainier ve státě Washington.⁹

Z analytického hlediska je klíčové si uvědomit, jak vznikla morfologická kategorie „Disk“. Arnold ve skutečnosti nepopsal objekty jako talíře, ale uvedl, že se jednalo o stroje ve tvaru srpku či netopýra, které se pohybovaly tak, „jako když hodíte talíř přes vodní hladinu“.¹⁰ Masová média tuto nuanci ignorovala a vytvořila termín „létající talíř“ (flying saucer), který se stal okamžitým globálním fenoménem. Tato žurnalistická chyba následně zásadně znečistila data z následujících desetiletí, neboť svědci, formováni očekáváním, začali hromadně hlásit diskovitá plavidla – jev známý v psychosociologii jako konfirmační zkreslení a sociální nákaza.¹¹ Jen několik týdnů po Arnoldově pozorování došlo k havárii neznámého objektu poblíž vojenské základny Roswell v Novém Mexiku. Ačkoli armáda zprvu vydala tiskovou zprávu o zajištění létajícího disku, vzápětí ji dementovala s odkazem na meteorologický balón (později identifikovaný jako přísně tajný projekt Mogul pro detekci sovětských jaderných testů). Tato událost položila základ nedůvěry veřejnosti vůči vládním institucím, která se v datech odráží dodnes.³

2.2 Washingtonský incident a eskalace vojenského dohledu (1952)

Při křížové kontrole tabulky statistických extrémů je zřejmé, že rok 1952 představuje absolutní pík pro kategorie „Vojenské / Radar“ a „Důvěryhodný svědek“.⁴ Data z tohoto období korelují s událostí, která je v ufologii známa jako Washingtonský incident (The Washington Flap). Během dvou po sobě jdoucích víkendů (12.–29. července 1952) došlo k masivnímu narušení přísně střeženého vzdušného prostoru nad Bílým domem a budovou Kapitolu.¹²

Tento případ má v databázi mimořádnou hodnotu díky křížové validaci. Objekty byly pozorovány nejen vizuálně civilními piloty a personálem letových věží (kteří je popisovali jako oranžovo-červené ohnivé koule či bezocasá zářící bílá světla), ale především byly současně sledovány třemi nezávislými radarovými systémy z letiště Washington National Airport a letecké základny Andrews.¹⁴ Když byly k interceptaci vyslány stíhačky F-94, radarové kontakty vykazovaly to, co databáze klasifikuje pod kategorií „Extrémní rychlost“. Dispečer Harry G. Barnes tehdy uvedl, že „jejich pohyby byly naprosto radikální v porovnání s běžnými letadly“. Navíc, když se stíhačky přiblížily, objekty se nesnažily pouze uprchnout, ale v jednom momentě útočící formaci bleskově obklíčily, což donutilo otřeseného pilota žádat o povolení k palbě.¹⁴ Tato událost donutila Ústřední zpravodajskou službu (CIA) a letectvo revidovat protokoly a iniciovat proslulý vyšetřovací program Project Blue Book, a stala se katalyzátorem obav z toho, že by podobná hlášení mohla zahltit varovné systémy protivzdušné obrany a maskovat skutečný sovětský jaderný útok.¹³

2.3 Posun tvarových vzorců (1980–1990)

S postupem času ukazuje křivka tvarové evoluce postupný ústup disku a nárůst asymetrických a polygonálních tvarů. V 80. a na počátku 90. let začaly databázi plnit hlášení o masivních trojúhelnících, bumeranzích a tvarech do V (v CSV exportu klasifikovaných jako „chevron“ a „triangle“).⁴

Tato změna, evidovaná například v hlášeních z oblasti Hudson Valley, Koreje nebo později z Phoenixu (tzv. Phoenix Lights z roku 1997), detailně koreluje se záznamy v poskytnutém CSV. Záznam z 10. října 1985 z Leedsu ve Velké Británii hovoří o třech světlech, jež tvořila ohraničení „velkého, černého a naprosto tichého plavidla ve tvaru trojúhelníku“.⁴ Jiný svědek v Poughkeepsie, NY, v roce 1979 nahlásil objekt tvaru chevronu (šipky/V), jehož rovinatý spodek byl rovnoběžný s horizontem, jasně červeně zářil a byl „zcela bezhlučný“ bez jakýchkoli viditelných detailů konstrukce.⁴ Tyto struktury se vyznačovaly pomalým přeletem v nízkých výškách a schopností zneviditelnit se proti noční obloze – což mohlo korespondovat s vývojem a testováním amerických stealth technologií (např. bombardérů B-2 Spirit a F-117 Nighthawk), jež byly v té době v režimu nejpřísnějšího utajení. Přesto mnoho svědků hlásilo výkony (např. setrvání na místě po celé hodiny, absolutní absence aerodynamického zvuku motorů a schopnost okamžité nezemské akce), které se neshodují s fyzikálními možnostmi letadel stealth.⁴

2.4 Exploze dat v éře smartphonů a mayského kalendáře (2012–2013)

Vraťme se k faktu, že podkategorie jako „Vodní světy“, „Trojúhelníky“ a „Tic-Tac“ kulminují masivními tisíci hlášení v roce 2012. Vysvětlení tohoto ostrého piku vyžaduje propojení technologických a společenských metrik. Rok 2012 představoval milník v penetraci trhu chytrými telefony s vysoce kvalitními integrovanými fotoaparáty a všudypřítomným mobilním připojením (3G/4G).

Zpráva společnosti Nielsen z roku 2012 upozorňuje, že čas strávený na sociálních sítích přes mobilní zařízení tehdy meziročně stoupl o bezprecedentních 63 %.¹⁷ Každý občan se tak stal potenciálním senzorem schopným okamžitě zaznamenat a globálně sdílet anomálii.

Tento technologický faktor se však protnul se silnou kulturní nákazou: rok 2012 byl globálně spojen s očekáváním konce mayského kalendáře (baktunu), což ve společnosti vyvolalo zvýšenou míru úzkosti, zájem o mystiku, apokalyptické předpovědi, prastaré astronauty a nebeské úkazy.¹⁸ Popkultura (například film *2012* od Rolanda Emmericha nebo nejrůznější pseudohistorické dokumenty spojující mayské proroctví s mimozemským zásahem či kruhy v obilí) masivně senzibilizovala populaci k upírání zraků k obloze.²⁰ Jak dokládají moderní analýzy (např. práce antropologa J. LaVioletteho o „smyslové ekologii“), lidé jednoduše vidí to, k čemu jsou kognitivně nasměrováni a co jim umožňuje prostředí sledovat.²² Hypervigilance roku 2012 logicky vedla k nahlášení obrovského množství meteorologických balónů, meteorů, čínských lampionů a optických klamů jakožto UAP, čímž vznikl statistický vrchol, který po odeznění apokalyptické mánie opět mírně klesl (např. zaznamenaný propad hlášení mezi lety 2012 a 2017).²³

2.5 Moderní znečištění dat: Například vliv programu Starlink

Prediktivní datové modelování vývoje fenoménu v současnosti čelí kritické výzvě: kontaminaci satelitní megakonstelací Starlink společnosti SpaceX. Od roku 2019, kdy Elon Musk zahájil umístování tisíců satelitů na nízkou oběžnou dráhu Země (LEO), začaly databáze zhlcovat zprávy o „řadách podivných světél“. Během fáze vzestupu oběžné dráhy odrážejí solární panely satelitů Starlink sluneční světlo v soumravných a úsvitových hodinách, což ze Země vypadá jako perfektně seřazený „vláček“ zářících objektů.²⁴

Analytické modely ministerstva obrany (AARO) i nezávislí vědci prokazují bezprostřední korelaci mezi termíny startů Falcon 9 ze základny Cape Canaveral a explozivními nárůsty hlášení „formací UAP“ z oblastí, jež se nacházejí pod novou oběžnou trajektorií (např. nárůst hlášení komerčních pilotů).²⁶ Při extrapolaci faktu, že Starlink plánuje mít na orbitě desetitisíce satelitů, je pro každý budoucí mapový a prediktivní algoritmus absolutní prioritou integrace astronomických efemerid ke křížové filtraci těchto optických záblesků.²⁷

3. Strategické vzorce: Jaderná stopa a vazby na vojenské instalace

Nejzávažnějším a z hlediska národní bezpečnosti nejkritičtější vzorcem identifikovaným v datovém souboru je tzv. „Jaderná stopa“. Jak odhaluje PDF extrakt, tato specifická kategorie čítá 1 501 validních případů, přičemž jejich nejvyšší koncentrace se odehrála v roce 1967.⁴ Korelace výskytu UAP s vojenskými zařízeními a infrastrukturou spojenou s vývojem atomových zbraní má kořeny u samotného úsvitu atomového věku.

3.1 Historický dohled nad projektem Manhattan

Již od prvních testů jaderných zbraní upoutaly tyto lokality pozornost neznámých létajících objektů. V těsné blízkosti plutoniového výrobního komplexu Hanford ve státě Washington, obohacovacího závodu Oak Ridge v Tennessee a vojenského letiště Muroc (později Edwards AFB), byly

po roce 1947 pravidelně hlášeny nevysvětlitelné vizuální kontakty.²⁹ Typickým fenoménem z let 1949 a 1950 v okolí těchto základen a v laboratořích Los Alamos byl výskyt takzvaných „zelených ohnivých koulí“ (green fireballs), jež vykazovaly znaky inteligentního řízení a nevykazovaly balistické dráhy běžných meteoritů.²⁹

Zcela převratný důkaz této korelace přinesla rozsáhlá kvantitativní studie (Villarroel & Bruehl, 2025). Výzkumníci analyzovali historické astronomické fotografické desky z observatoře Palomar pořízené před oficiálním začátkem vesmírného věku (1949–1957), tedy z doby, kdy na oběžné dráze nebyly žádné umělé lidské satelity.³⁰ Na těchto snímcích identifikovali „přechodné světelné jevy“ (transients) – body připomínající zrcadlové odrazy, které se objevily v jednom snímku a ve srovnávacím již nebyly. Při křížové analýze s databázemi pozemních jaderných zkoušek (amerických, britských a sovětských) autoři zjistili ohromující korelaci: pravděpodobnost objevení těchto anomálních světél na obloze se zvýšila o celých 45 % v třidenním okně kolem jaderného výbuchu. Den po jaderném testu dokonce vzrostla o 68 %.³⁰ Společně se zvýšeným výskytem transientů stoupal v těchto dnech i počet hlášení z databáze UFOCAT (každé nahlášení UFO korelovalo s 8,5% nárůstem transientů).³¹ Ačkoliv skeptici navrhují, že světla mohla být zaviněna radioaktivním spadem kontaminujícím fotografické desky, autoři argumentují, že spad by vytvořil difuzní mlhu, nikoli bodové, hvězdám podobné stopy.³² Výzkum silně implikuje možnost, že nelidská inteligence bedlivě monitorovala, jak lidstvo ovládlo sílu štěpení atomu.

3.2 Narušení strategických zbraňových systémů: Malmstrom 1967 a Teherán 1976

Vrchol kategorie „Jaderná stopa“ v roce 1967 souvisí s jedním z nejděsivějších incidentů studené války. 16. března 1967 v podzemním velitelském středisku „Echo Flight“ na letecké základně Malmstrom ve státě Montana sloužil poručík Robert Salas. Během jeho směny ostraha na povrchu nahlásila objekt vykazující podivné letové manévry, ze kterého se vyklubal obrovský, zářící červený objekt bezhlučně se vznášející přímo nad hlavní bránou komplexu.³³ Prakticky okamžitě po tomto vizuálním hlášení se na kontrolní konzoli spustily popluchy a plně operačních deset mezikontinentálních balistických raket Minuteman III, nesoucích jaderné hlavice, přešlo jedna po druhé do režimu „No-Go“ (nevyužitelné/odpojené).³³ Rakety ztratily status strategické pohotovosti současně. Vojenské zprávy sice později uváděly vysvětlení komerčního výpadku proudu, nebo testování zbraně s elektromagnetickým pulzem (EMP), ale přímí svědci trvají na faktu, že systémy byly odstaveny zvenčí anomální silou.³³ Pokud by podobnou kapacitu na odstavení arzenálu měl Sovětský svaz, představovalo by to totální asymetrii moci. Podobné incidenty se objevily i v britském lese Rendlesham v roce 1980 v blízkosti americké letecké základny RAF Woodbridge, kde byla rovněž dislokována strategická infrastruktura.²⁹

O dekádu později, v noci z 18. na 19. září 1976, došlo nad íránským Teheránem k události, která demonstruje schopnost UAP selektivně manipulovat se zbraňovými a avionickými systémy ve vzduchu.³⁵ Po četných vizuálních hlášeníh jasného objektu nad íránským hlavním městem vyslalo tehdejší Císařské letectvo k zachycení dva špičkové americké letouny F-4 Phantom II. Velitel druhého letounu, major Parviz Jafari, zachytil na radaru cíl o velikosti letounu Boeing KC-135 letící vzdálenosti zhruba 27 námořních mil. Vizuálně šlo o objekt pulzující intenzivním červeným, zeleným, oranžovým a modrým světlem.³⁵ Ve chvíli, kdy Jafari inicioval zbraňový protokol k odpálení infračerveně naváděné střely vzduch-vzduch AIM-9 Sidewinder, kompletní ovládací panel zbraní, rádio a veškerá elektronika v kokpitu naráz „zhasly“.³⁵ Funkčnost přístrojů se vrátila do normálu teprve tehdy, když letoun přerušil útok a změnil směr pryč od cíle. Objekt následně

směrem k Jafarimu vypustil menší sekundární modul podobný raketě a další vyslal k hladkému přistání na povrchu Země.³⁵ Záznamy podobného narušení civilní techniky nabízí i analyzovaný CSV dokument: v Michiganu (West Bloomfield, 10. 10. 1972) způsobil diskovitý letoun pokles proudu v autobaterii na nulu, zhasnutí motoru, světel i rádia vozidla.⁴

3.3 Bojové setkání v Československu: Vranov 1987

Incident s vysokou vojenskou angažovaností se nevyhnul ani střední Evropě. Dne 12. července 1987 se nad Vranovskou přehradou na jižní Moravě odehrála událost, do které zasáhl 51. vrtulníkový pluk a posádky stíhacích letounů Československé lidové armády.³⁶ Černý předmět ve tvaru doutníku původně zachycený radarovými stanicemi přilétající z Rakouska byl vizuálně potvrzen posádkou útočného vrtulníku Mi-24. Pilotům byl vydán ostrý povel z pozemního velení k sestřelení cíle. Jakmile však střelci uzamkli objekt do svých zaměřovačů, cíl provedl úhybný manévr, který popíral fyzikální zákony setrvačnosti a aerodynamiky té doby. Navíc incident probíhal za denního světla přímo nad přeplněnou přehradou plnou rekreantů, což znemožnilo odpálení palubních zbraní.³⁶ Následně byly do stíhání zapojeny proudové letouny L-39 Albatros z brněnského letiště. Ty plavidlo pronásledovaly až k jaderné elektrárně Dukovany a následně na Slovensko, dokud cíl nezmizel nepředstavitelnou rychlostí, jakou tehdejší letouny typu Starfighter nebo Aardvark zdaleka nemohly vyvinout, a to bez potřeby jakéhokoli doplňování paliva po dobu delší než dvou hodin.³⁶

Je nezbytné objektivně zmínit, že neustálé spojení UAP s armádou může být částečně produktem „zkreslení ze sběru dat“ (collection bias).²⁹ Jak uvádí bývalý ředitel úřadu AARO Sean Kirkpatrick i environmentální Bayesovské modely, vojenské prostory disponují nejkvalitnějšími multispektrálními radary, vycvičenými letci a neustálou ostrážitostí.²⁹ Zvyšuje se zde tedy bazální šance cokoli zachytit. Na druhou stranu, specifické, inteligentní zacílení a manipulace se zbraněmi, jak ukazují příklady z USA i Íránu, překračují hranice pouhé statistické odchylky.

4. Fenomenologie a fyzikální projevy: Pět pozorovatelných charakteristik

Vzhledem k obrovskému množství nesmyslného „šumu“ v databázích (ptáci, letadla, balóny, odrazy) vytvořili zpravodajští specialisté (např. bývalý program AATIP při ministerstvu obrany USA v čele s Luisem Elizondem) metodologický rámec tzv. Pěti pozorovatelných charakteristik (The Five Observables), kterými se anomální UAP naprosto odlišují od lidských technologií.⁴⁰ V případě, že objekt spolehlivě vykazuje kombinaci těchto pěti rysů, lze vyloučit atmosférické jevy i pozemskou letovou techniku:

1. **Okamžitá a blesková akcelerace (Sudden/Instantaneous Acceleration):** Schopnost objektu dosáhnout z klidového vznášení rychlosti Mach 10 a více během zlomku vteřiny, nebo schopnost okamžitě změnit směr letu do pravého úhlu, což by zničilo jakýkoli známý materiál v důsledku gigantického přetížení (G-force).
2. **Hypersonická rychlost bez tepelných a akustických projevů (Hypersonic Velocity without Signatures):** Pohyb objekty mnohanásobně rychlejší než zvuk (Mach 5+), avšak bez tvorby sonického třesku (sonic boom) a bez produkce gigantického třecího tepla, které spaluje meteoory i vojenské hlavičky. Záznam z naší CSV databáze (Lackland AFB, 1949) to perfektně

ilustruje: „světla letící po obloze a zatáčející o 90 stupňů na pětníku“ a „pohyb nezemskou rychlostí mrknutím oka“ (Penarth, UK 1965).⁴

- 3. Pozitivní vztlak beze zřejmých aerodynamických ploch (Positive Lift without Flight Surfaces):** UAP dokážou viset ve vzduchu hodiny bez využití vztlakových křídel, rotorů nebo vertikálních výfukových trysek tvořících reakční hmotu.
- 4. Transmediální cestování (Trans-Medium Travel):** Schopnost objektu bez plynulého zpomalení a deformace přejít z prostředí vesmírného vakua do zemské atmosféry a okamžitě se ponořit hluboko pod vodní hladinu (což vysvětluje rozsáhlou kategorii „Vodní světy“ v naší analýze o 9 055 záznamech).⁴
- 5. Nízká pozorovatelnost a rušení systémů (Low Observability):** Objekty často vyzařují signály v širším elektromagnetickém spektru nebo manipulují radary tak, aby poskytly rozmaný nebo falešný obraz, jako to činil Nimitz „Tic-Tac“ stíhačce F/A-18F Super Hornet.⁴⁰

Nedávné modely navíc navrhují doplnění těchto parametrů o specifické projevy, jež teoreticky ukazují na využití asymetrického warpového pohonu (Alcubierre drive). Jak uvádí studie (Wanless & Palachik, 2025), analýza zobrazení UAP identifikovala efekt „gravitačního čočkování“ (gravitational lensing), kdy zakřivení časoprostoru ohybá světlo hvězd za lodí, a zřetelné náklony plavidla „ve tvaru disku“ v určitém úhlu proti vektoru pohybu, doprovázené optickým rozmazáním v důsledku frekvence časoprostorové oscilace.⁴³ Pokud loď obalí bublina odděleného časoprostoru, nevzniká tření, odpor, zvukový třesk a posádka nepocituje žádné setrvačné síly, což matematicky řeší všechny kinetické anomálie zapsané v historických tabulkách.

5. Hlubší neznámé aspekty: Psychologické vlivy a „Oz faktor“

Redukce fenoménu UAP pouze na fyzikálně-technický oříšek hrubě zanedbává tu nejvíce znepokojující část celé problematiky – interakci s lidským vědomím a vnímáním, v ufologii často označovanou jako jevy „vysoké podivnosti“ (High Strangeness). Kategorii „Psychologický dopad“ bylo validováno přes 477 specifických záznamů.⁴ Tyto složky překračují materialistické popisy a vykazují vlastnosti blížíící se paranormálním prožitkům.

Základním znakem této fenomenologie je koncept známý jako „**Oz faktor**“ (The Oz Factor), termín, který definovala britská ufoložka Jenny Randles.⁴⁵ Tento faktor popisuje hlubokou smyslovou izolaci, kterou svědek pocituje bezprostředně před a během těsného setkání (Close Encounter). Svědci udávají pocity náhlé derealizace, kdy svět okolo nich ztratí barvy (zšedne), okolní prostředí – jako zvířata, doprava a hluk přírody – utichne do absolutního nepřírozeného ticha a člověk pocituje jakési protažení času nebo vtažení do paralelní reality, z níž zmizeli ostatní lidé.⁴⁵

Z dodaného datového vzorku (CSV) se dají přímo odvodit stopy takové psychické manipulace. Zcela zásadní je záznam z města Live Oak (Florida) ze dne 10. října 1966. Zde těhotná matka svědka vypověděla, že během sledování disku nasávajícího energii z elektrického vedení přijímala „mentální signály“ (mentální imperativ / telepatie), které jí nakazovaly, aby nezprostředkovávala informace dále.⁴ Kognitivní narušení lze sledovat i v záznamech o proaktivním cílení objektů na člověka – svědek z Hudsonu v Kansasu (1974) sdělil s patrnou úzkostí, že je „světlo pronásledovalo“ (chased us), a svědek z Manchesteru, New Hampshire (1980), pocítil jasný zrakový kontakt,

když svítící sféra „zastavila a sledovala mě“.4 Z podobných incidentů si účastníci často odnášejí pocit narušení plynutí času („missing time“), dočasnou paralýzu či noční můry, což se psychologicky silně prolíná se spánkovou paralýzou a disociativními poruchami vyvolanými extrémním traumatem z události rozkládající ontologickou jistotu.7

Rozsáhlé studie lidského vnímání však varují před příliš rychlým obviňováním obětí ze schizofrenie nebo bludů. Většina svědků totiž nevykazuje znaky hrubé psychopatologie.50 Psychologické profilování ukazuje, že k hlášení neověřitelného jsou predisponováni jedinci s osobnostním rysem „otevřenosti vůči zkušenostem“ (Big Five: openness) a lidé s bohatším imaginativním životem. To z nich nedělá lháře; spíše to naznačuje, že člověk s menší kognitivní rigiditou snáze přijme vizuální anomálii, zatímco člověk silně zakotvený ve status quo mozek podvědomě přinutí takovou událost ignorovat nebo smazat.50 Fenomény „vysoké podivnosti“ nicméně vyvolávají úvahy, nakolik jsou UAP fyzická plavidla a nakolik mohou být plazmatickými či kognitivními entitami zkoumajícími limitace lidského vědomí.

6. Korelace s popkulturou, sci-fi filmy a médii

Vnímání anomálních jevů nestojí mimo kulturní vakuum; je naopak kriticky utvářeno mediálním prostorem. Datové analýzy, a to konkrétně křížové porovnání mezi časovou osou uvolnění sci-fi filmů/televizních seriálů a databázemi hlášení (tzv. „Will Smith Effect“), jednoznačně odhalují, že popkultura formuje jak objem hlášení, tak jejich terminologii.52

Když v roce 1977 dorazil do kin filmový hit Stevena Spielberga *Blízká setkání třetího druhu* (Close Encounters of the Third Kind), doprovázený filmem *Star Wars*, následovalo v roce 1978 absolutní historické maximum britských hlášení UFO, které vystoupalo ze standardních dvou set na 750 zaznamenaných incidentů.52 Stejná statistická exploze nastala v polovině devadesátých let. Zatímco rok 1995 čítal 117 hlášení, v roce 1996, po fenomenálním úspěchu filmů *Den nezávislosti* (s Willem Smithem v hlavní roli) a premiérách seriálu *Akta X* (The X-Files), vystřelil počet oznámení u britského ministerstva obrany na neověřitelných 609.52 Tato silná korelace pokračovala hned v následujícím roce (1997) s filmem *Muži v černém* (Men in Black) se 425 hlášeními.52 Nárůsty se dají prokázat i v dobách předchozích – například start seriálového fenoménu *Doctor Who* nebo vliv seriálů a filmů *Star Treku*.52

Zastánci **psychosociální hypotézy (PSH)**, jejímž propagátorem je např. Bertrand Méheust či Jacques Vallée (ve své rané fázi), využívají tato data k odůvodnění myšlenky, že fenomén UFO je ve skutečnosti ztělesněním podvědomých mytických potřeb člověka v moderní přetechnizované éře, jakýmsi zrcadlením hlubokého stresu a strachu (např. z jaderného konfliktu nebo ztráty lidské nevinosti).54 Popkultura navíc dodala očitým svědkům sdílenou typologii: ikonický obraz drobných, šedých bytostí s obrovskými černými očima („The Grays“) není historicky stabilní, ale plně krystalizoval po masivním mediálním pokrytí únosu Betty a Barneyho Hillových v 60. letech a byl dále vizuálně zafixován Hollywoodem.55

Přestože výše popsaný vliv ukazuje na vysoké riziko falešně pozitivních případů (misidentifikace meteorů, letadel, mraků), kdy mediální konzumace uvolní zábrany reportovat jakékoliv neznámé světlo na noční obloze 53, nelze jím vysvětlit multikontinentální radarová sledování, stopové fyzické průměty do radiace nebo hlášení zkušených námořních pilotů (incident Nimitz). Spíše to potvrzuje nutnost aplikovat do jakéhokoliv datového systému pokročilé filtry, které by „ořízly“ hluk vznikající v době mediálních panik.

7. Geografické hotspoty a environmentální filtry

Z analýz prostorového rozložení zanesených v mapách neplyne jen to, že k jevům dochází plošně, ale také je zřejmý fakt, že hlášení propukají v oblastech s určitými specifickými demografickými a environmentálními podmínkami. Důkladná prostorově-časová studie zpracovávající 98 000 datových bodů pro území USA mezi lety 2001 a 2020 za použití sofistikované bayesovské regresní analýzy (včetně algoritmu INLA – Integrated Nested Laplacian Approximation) dokázala oddělit fyzikální faktory prostředí od samotného výskytu anomálií.³⁹

Výzkumníci identifikovali, že geografická četnost hlášení UAP primárně závisí na „potenciálu výhledu na oblohu“ (Sky View Potential). Regresní matematický model naprosto bez pochyby prokázal korelace mezi pozorováním a světelným smogem: s každou standardní odchylkou ve zvýšení světelného znečištění (Mean Light Pollution) klesla míra hlášení o 7,7 % s 100% statistickou kredibilitou.³⁹ Zalesnění koruny stromů (tree canopy) mělo stejný negativní vliv (94% kredibilita).³⁹ Tyto výsledky vyvrací obavu ze signálu totálně utopeného v šumu nesmyslů a dokazují, že lidé fyzicky reagují na jevy odehrávající se na reálné, zřetelně pozorovatelné noční obloze a nejdna se tedy jen o fabulace zpoza monitoru.

Na druhé straně silná pozitivní korelace (kolem 100 %) existuje mezi výskytem hlášení a „potenciálem pro existenci objektů“, což v modelu znamenalo vzdálenost od vojenských území (Percent Military Area) a koridorů civilní letecké dopravy (Air Traffic/Sq. Km).³⁹ Většina svědků tedy reálně vidí testované vojenské prototypy a špatně rozpoznané konvenční letouny s navigačními světly. Identifikace těchto environmentálních kovariancí umožňuje tvůrcům databází přesně odfiltrout místa, kde je pravděpodobnost vizuálního zahlcení extrémní (letišť), a zkoumat jen ty anomálie, jež tyto běžné zemské vektory přesahují.

Závěr

Fenomén neidentifikovaných vzdušných (a nejenom vzdušných, viz USO – Unidentified Submerged Objects) anomálií představuje mnohem více než jen shluk izolovaných konspiračních vyprávění. Zde představená prostorová, časová a sémantická analýza vycházející z databáze více než 323 tisíc hlášení prokázala statisticky validní a robustní vzorce chování, které ignorují vysvětlení formou pouhých masových omylů a atmosférických jevů. Zcela bezprecedentní je jasná historická shoda výskytů anomálií s vývojem lidské vojenské a jaderné strategie (od komplexů u Manhattan projektu, přes základnu Malmstrom až po Teherán a incidenty ČSLA ve Vranově či slavný Nimitz incident), což otevírá zásadní otázky z pohledu bezpečnostní a obranné politiky suverénních států.

Morfologická evoluce od klasického létajícího disku, silně podněcovaného společenským očekáváním a popkulturním boomem sci-fi filmů, se dnes přenesla k asymetrickým fenoménům typu „Tic-Tac“ a hyperakcelerujícím objektům zanechávajícím stopy plynulého transmediálního přesunu a vlivu na lidské vnímání skrze tzv. „Oz faktor“ a související mentální jevy.

VELKÁ BADATELSKÁ ZPRÁVA

Generated by UAP Interactive Map

Tento dokument je automatickým souhrnem hloubkové analýzy databáze UAP. Obsahuje výsledky všech dostupných analytických misí aplikovaných na aktuální dataset.

Analyzovaný dataset:	323 729 záznamů
Časový rozsah:	1900 - 2030
Datum generování:	27. 2. 2026 7:37:20

Důvěryhodný svědek

záznamů: **422**

Peak: **1952**

Nejčastější tvar: **lights**

Letecká pozorování

záznamů: **8476**

Peak: **2013**

Nejčastější tvar: **disc**

Vojenské / Radar

záznamů: **3955**

Peak: **1952**

Nejčastější tvar: **disc**

Jaderná stopa

záznamů: **1501**

Peak: **1967**

Nejčastější tvar: **disc**

Vodní světy

záznamů: **9055**

Peak: **2012**

Nejčastější tvar: **light**

Tic-Tac / Doutník

záznamů: **7762**

Peak: **2007**

Nejčastější tvar: **cigar**

Trojúhelníky

záznamů: **20940**

Peak: **2012**

Nejčastější tvar: **triangle**

Extrémní rychlost

záznamů: **11881**

Peak: **2012**

Nejčastější tvar: **light**

Tichý let

záznamů: **12444**

Peak: **2012**

Nejčastější tvar: **triangle**

Hromadná pozorování

záznamů: **953**

Peak: **1966**

Nejčastější tvar: **disc**

Psychologický dopad

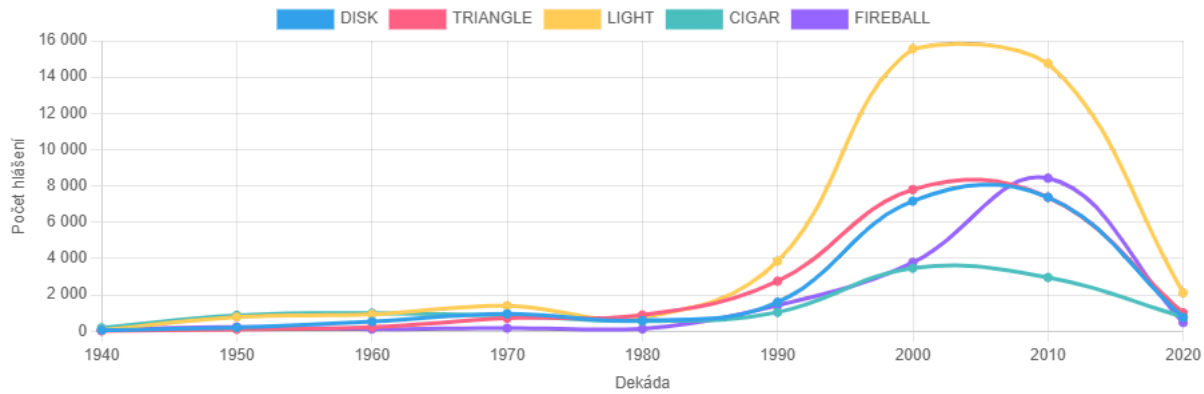
záznamů: **477**

Peak: **1977**

Nejčastější tvar: **disc**

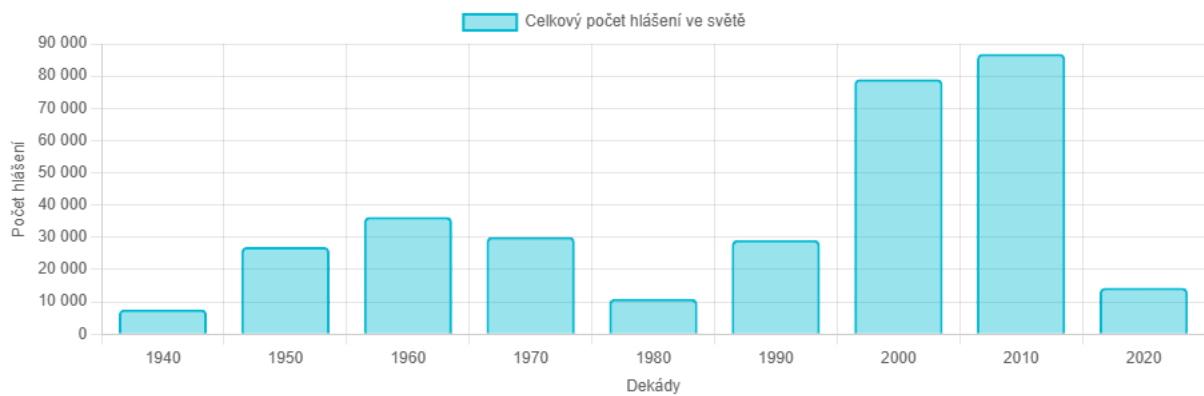
Tvarová evoluce

Historický vývoj hlášených tvarů objektů v aktuálně vybraném datasetu (všechny dekády).



Globální srovnávací analýza

Srovnání intenzity pozorování v čase pro celou světovou databázi (300 000+ záznamů). Slouží k identifikaci globálních vln aktivity.



Tento dokument je automaticky generovaný na základě dostupných historických dat. Nemusí reflektovat kompletní realitu všech pozorování. Zdroje dat: NUFORC, GEIPAN, Záře.

Report: 27. 2. 2026 7:37:23

© Jaroslav Svoboda - Interaktivní mapa UAP

ANALÝZA UAP: ANALÝZA: TVAR TIC-TAC / DOUTNÍK

27. 2. 2026
REF: AUTO-GEN-001

Generated by UAP Interactive Map

AI Insight

Analýza objektů válcovitého tvaru (Doutník/Tic-Tac), proslavených incidentem USS Nimitz.

Note: Map will reset after closing this report.

Tento dokument představuje automatickou analýzu pozorování neidentifikovaných anomálních jevů (UAP) pro oblast **Analýza: Tvar Tic-Tac / Doutník** v časovém rozmezí let **1901 až 2026**. Celkem bylo v této oblasti a období zaznamenáno **11881** validních hlášení.

Významným bodem v časové ose je rok **2012**, kdy došlo k nejvyšší koncentraci hlášení (463 případů).

Z hlediska morfologie objektů převažují následující tvary:

- CIGAR** (7724x)
- CYLINDER** (4071x)
- CAPSULE** (22x)

Analýza denní doby ukazuje, že **5859** pozorování proběhlo v noci (19:00–05:59), zatímco **5260** případů bylo hlášeno během dne. U **762** případů není čas přesně určen.

CELKEM POZOROVÁNÍ

11881

VRCHOLNÝ ROK

2012

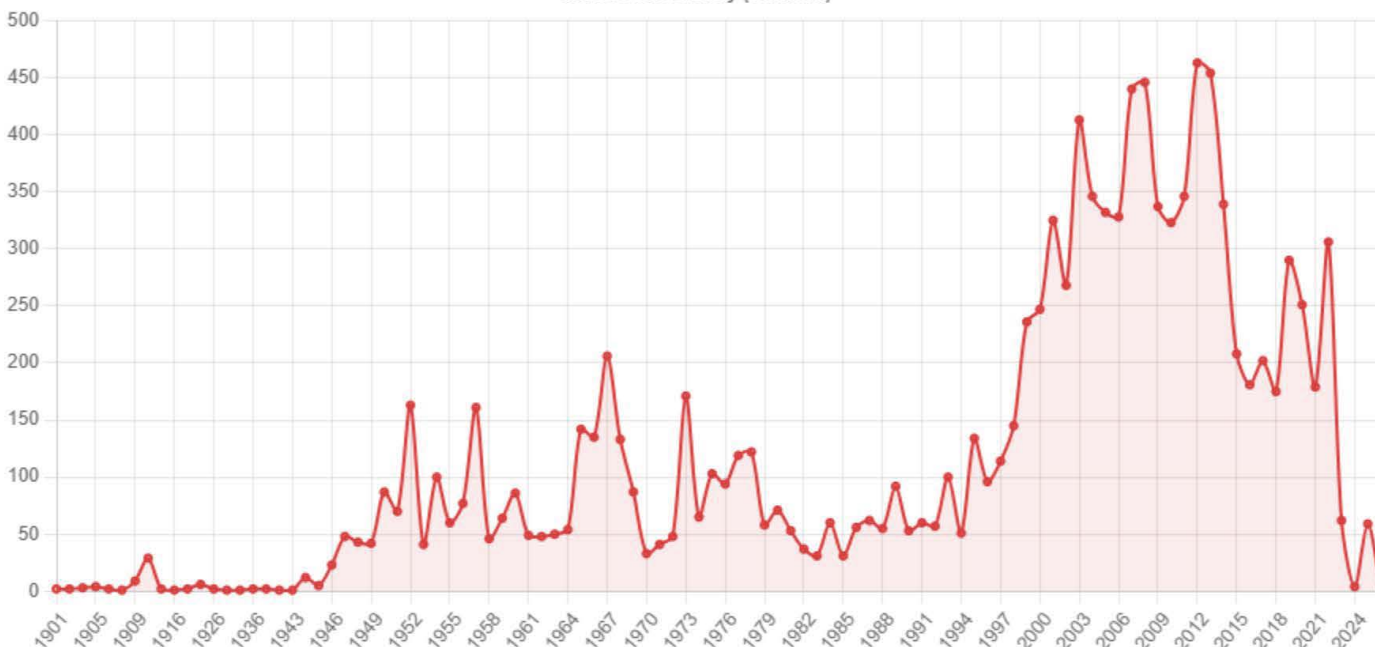
NEJČASTĚJŠÍ TVAR

CIGAR

PODÍL NOČNÍCH JEVŮ

53%

Časová osa aktivity (Timeline)



Tento dokument je automaticky generovaný na základě dostupných historických dat. Nemusí reflektovat kompletní realitu všech pozorování. Zdroje dat: NUFORC, GEIPAN, Záře.

ANALÝZA UAP: ANALÝZA: VYSOKÁ KREDIBILITA (CROSS-OVER)

27. 2. 2026
REF: AUTO-
GEN-001

Generated by UAP Interactive Map

AI Insight

Průnik množin: Případy hlášené profesionály (pilot/armáda/policie) A ZÁROVEŇ potvrzené technicky (radar) nebo nezávislými svědky.

Note: Map will reset after closing this report.

Tento dokument představuje automatickou analýzu pozorování neidentifikovaných anomálních jevů (UAP) pro oblast **Analýza: Vysoká kredibilita (Cross-Over)** v časovém rozmezí let **1947 až 2023**. Celkem bylo v této oblasti a období zaznamenáno **450** validních hlášení.

Významným bodem v časové ose je rok **1952**, kdy došlo k nejvyšší koncentraci hlášení (47 případů).

Z hlediska morfologie objektů převažují následující tvary:

- **DISC** (50x)
- **LIGHTS** (41x)
- **LIGHT** (30x)

Analýza denní doby ukazuje, že **266** pozorování proběhlo v noci (19:00–05:59), zatímco **84** případů bylo hlášeno během dne. U **100** případů není čas přesně určen.

CELKEM POZOROVÁNÍ

450

VRCHOLNÝ ROK

1952

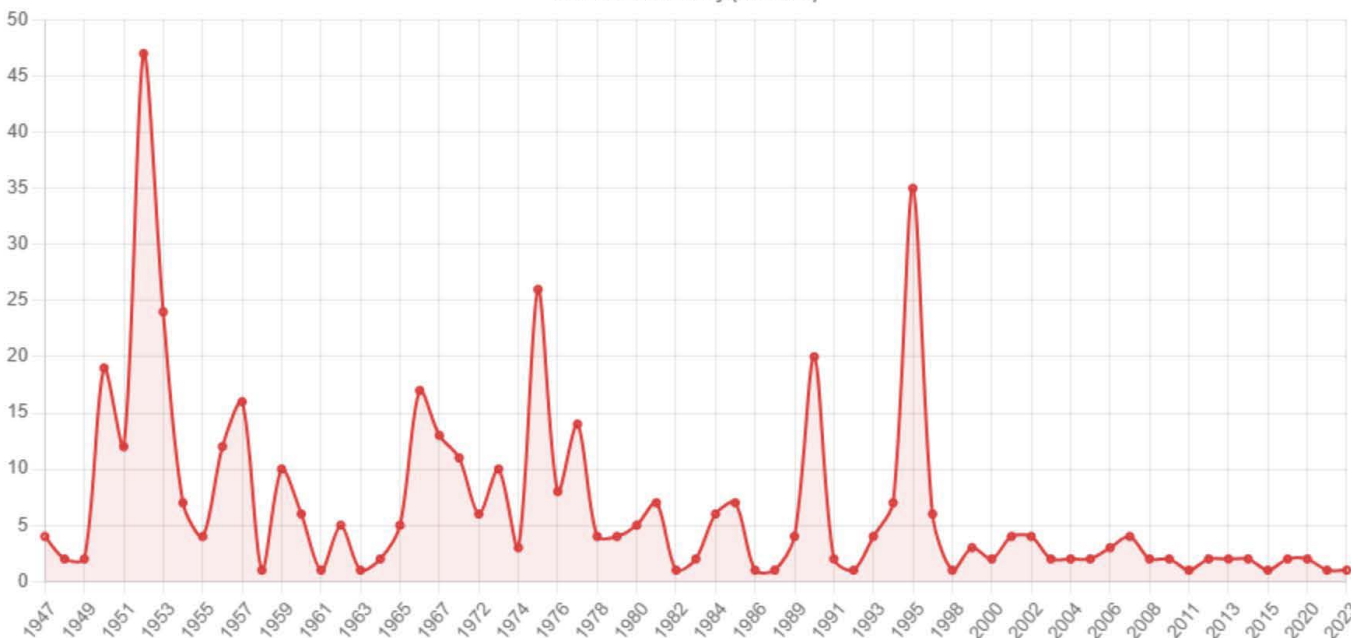
NEJČASTĚJŠÍ TVAR

DISC

PODÍL NOČNÍCH JEVŮ

76%

Časová osa aktivity (Timeline)



Tento dokument je automaticky generovaný na základě dostupných historických dat. Nemusí reflektovat kompletní realitu všech pozorování. Zdroje dat: NUFORC, GEIPAN, Záře.

ANALÝZA UAP: ANALÝZA: ELEKTROMAGNETICKÉ INTERFERENCE

27. 2. 2026
REF: AUTO-
GEN-001

Generated by UAP Interactive Map

AI Insight

Případy, kdy se objekt fyzicky projevil na okolí (rušení elektroniky, zhasnutí motoru, statická elektřina).

Note: Map will reset after closing this report.

Tento dokument představuje automatickou analýzu pozorování neidentifikovaných anomálních jevů (UAP) pro oblast **Analýza: Elektromagnetické interference** v časovém rozmezí let **1944 až 2025**. Celkem bylo v této oblasti a období zaznamenáno **2001** validních hlášení.

Významným bodem v časové ose je rok **1957**, kdy došlo k nejvyšší koncentraci hlášení (146 případů).

Z hlediska morfologie objektů převažují následující tvary:

- **DISC** (279x)
- **DOMEDISC** (175x)
- **LIGHT** (147x)

Analýza denní doby ukazuje, že **1243** pozorování proběhlo v noci (19:00–05:59), zatímco **358** případů bylo hlášeno během dne. U **400** případů není čas přesně určen.

CELKEM POZOROVÁNÍ

2001

VRCHOLNÝ ROK

1957

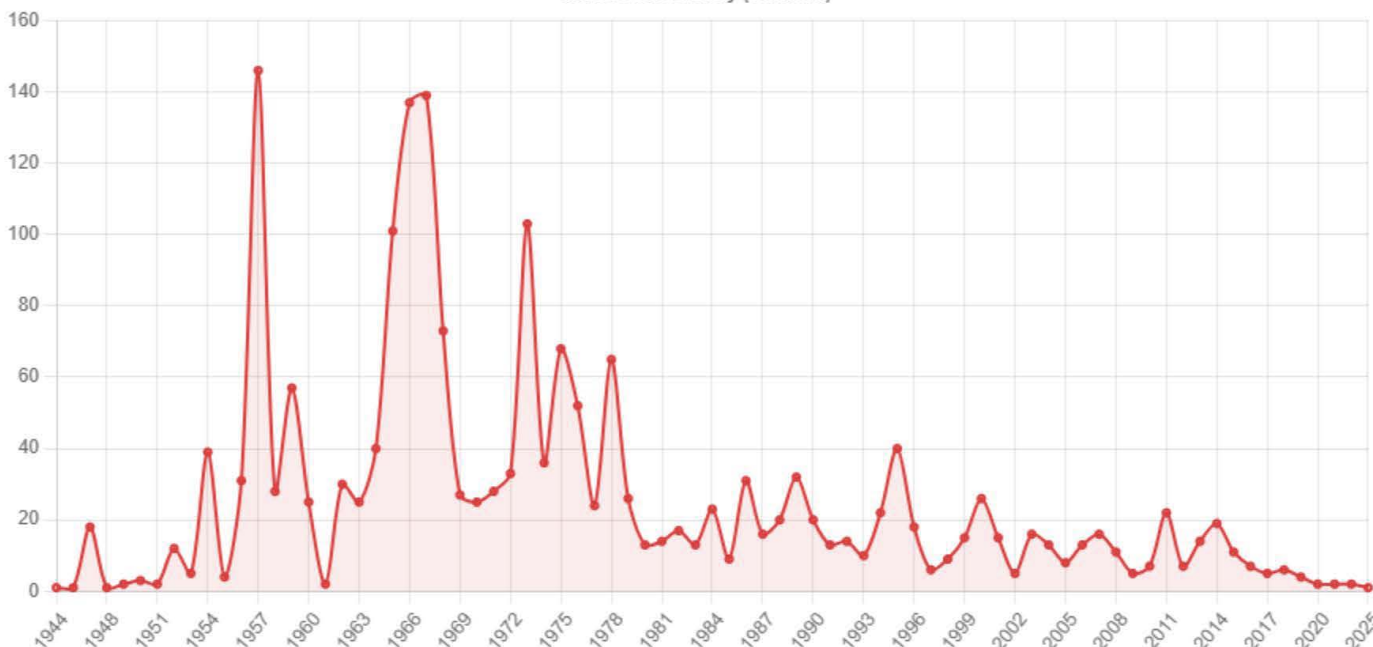
NEJČASTĚJŠÍ TVAR

DISC

PODÍL NOČNÍCH JEVŮ

78%

Časová osa aktivity (Timeline)



Tento dokument je automaticky generovaný na základě dostupných historických dat. Nemusí reflektovat kompletní realitu všech pozorování. Zdroje dat: NUFORC, GEIPAN, Záře.

ANALÝZA UAP: ANALÝZA: VYSOKÁ PODIVNOST

27. 2. 2026
REF: AUTO-GEN-
001

Generated by UAP Interactive Map

AI Insight

Případy s prvky CE-3/CE-4: Přistání, entity, telepatie nebo fyzické stopy.

Note: Map will reset after closing this report.

Tento dokument představuje automatickou analýzu pozorování neidentifikovaných anomálních jevů (UAP) pro oblast **Analýza: Vysoká podivnost** v časovém rozmezí let **1908 až 2026**. Celkem bylo v této oblasti a období zaznamenáno **12307** validních hlášení.

Významným bodem v časové ose je rok **1967**, kdy došlo k nejvyšší koncentraci hlášení (714 případů).

Z hlediska morfologie objektů převažují následující tvary:

- **DISC** (1479x)
- **DOMEDISC** (939x)
- **LIGHT** (693x)

Analýza denní doby ukazuje, že **7026** pozorování proběhlo v noci (19:00–05:59), zatímco **2013** případů bylo hlášeno během dne. U **3268** případů není čas přesně určen.

CELKEM POZOROVÁNÍ

12307

VRCHOLNÝ ROK

1967

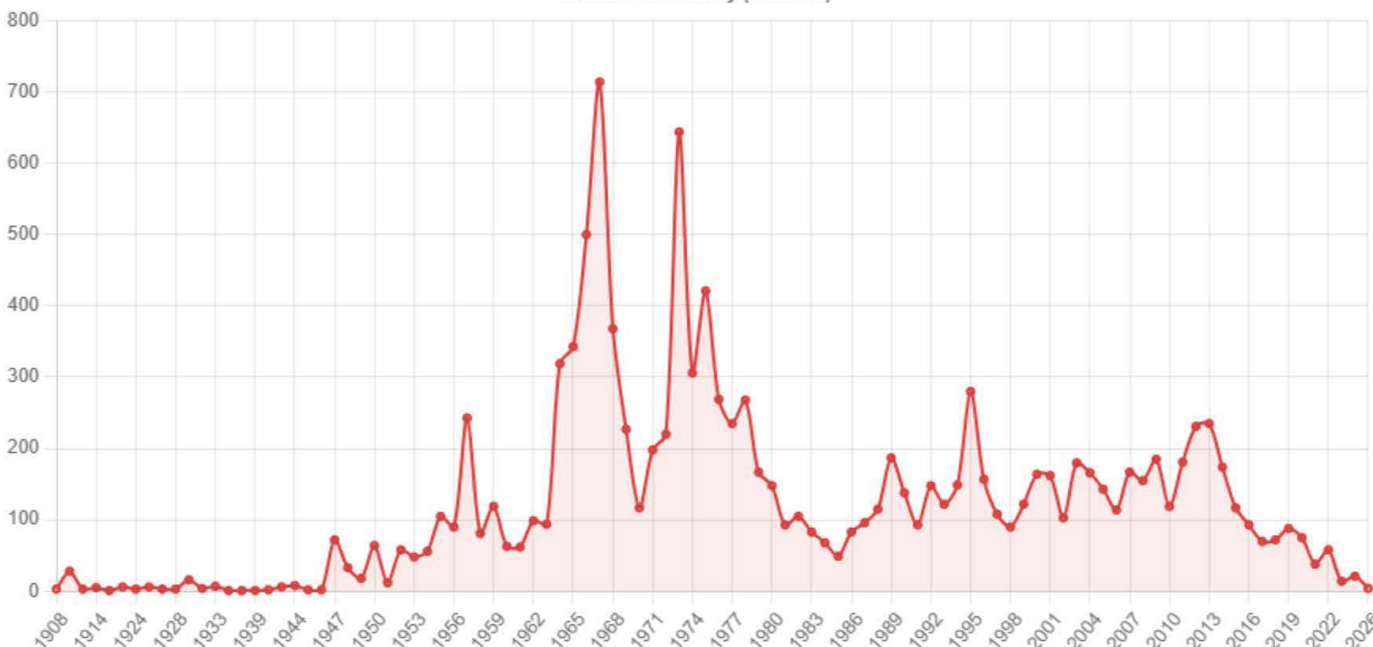
NEJČASTĚJŠÍ TVAR

DISC

PODÍL NOČNÍCH JEVŮ

78%

Časová osa aktivity (Timeline)



Tento dokument je automaticky generovaný na základě dostupných historických dat. Nemusí reflektovat kompletní realitu všech pozorování. Zdroje dat: NUFORC, GEIPAN, Záře.

ANALÝZA UAP: ANALÝZA: RYCHLÉ MANÉVRY

27. 2. 2026
REF: AUTO-GEN-001

Generated by UAP Interactive Map

AI Insight

Výběr objektů vykazujících nemožné zrychlení nebo okamžité zmizení (jedna z pěti pozorovatelných charakteristik).

Note: Map will reset after closing this report.

Tento dokument představuje automatickou analýzu pozorování neidentifikovaných anomálních jevů (UAP) pro oblast **Analýza: Rychlé manévry** v časovém rozmezí let **1901 až 2026**. Celkem bylo v této oblasti a období zaznamenáno **17158** validních hlášení.

Významným bodem v časové ose je rok **2012**, kdy došlo k nejvyšší koncentraci hlášení (906 případů).

Z hlediska morfologie objektů převažují následující tvary:

- **LIGHT** (3350x)
- **DISC** (1396x)
- **TRIANGLE** (1077x)

Analýza denní doby ukazuje, že **11592** pozorování proběhlo v noci (19:00–05:59), zatímco **4214** případů bylo hlášeno během dne. U **1352** případů není čas přesně určen.

CELKEM POZOROVÁNÍ

17158

VRCHOLNÝ ROK

2012

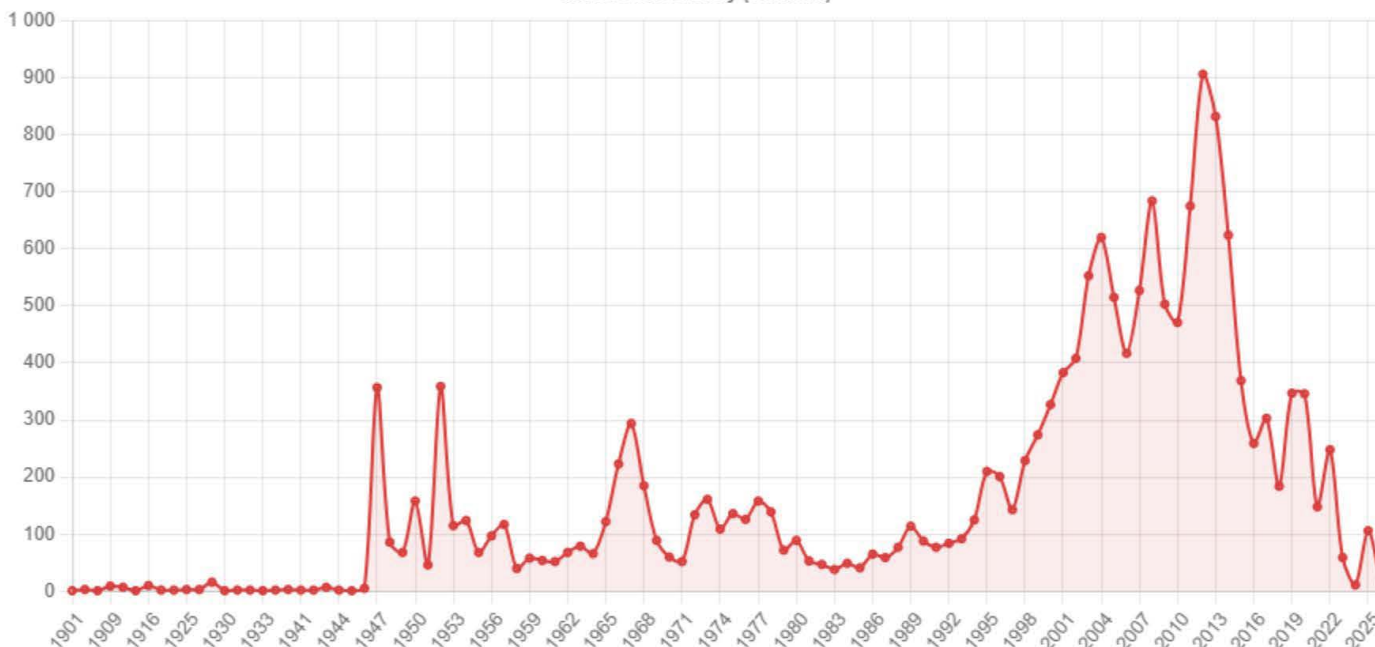
NEJČASTĚJŠÍ TVAR

LIGHT

PODÍL NOČNÍCH JEVŮ

73%

Časová osa aktivity (Timeline)



Tento dokument je automaticky generovaný na základě dostupných historických dat. Nemusí reflektovat kompletní realitu všech pozorování. Zdroje dat: NUFORC, GEIPAN, Záře.

ANALÝZA UAP: ANALÝZA: LETECKÁ BEZPEČNOST (PILOTI)

27. 2. 2026
REF: AUTO-
GEN-001

Generated by UAP Interactive Map

AI Insight

Filtrováno na klíčová slova související s letectvím (pilot, cockpit, altitude, flight level). Vysoká kredibilita svědků.

Note: Map will reset after closing this report.

Tento dokument představuje automatickou analýzu pozorování neidentifikovaných anomálních jevů (UAP) pro oblast **Analýza: Letecká bezpečnost (Piloti)** v časovém rozmezí let **1903 až 2026**. Celkem bylo v této oblasti a období zaznamenáno **42897** validních hlášení.

Významným bodem v časové ose je rok **2013**, kdy došlo k nejvyšší koncentraci hlášení (1924 případů).

Z hlediska morfologie objektů převažují následující tvary:

- TRIANGLE** (5413x)
- LIGHT** (4054x)
- DISC** (3353x)

Analýza denní doby ukazuje, že **26916** pozorování proběhlo v noci (19:00–05:59), zatímco **11448** případů bylo hlášeno během dne. U **4533** případů není čas přesně určen.

CELKEM POZOROVÁNÍ

42897

VRCHOLNÝ ROK

2013

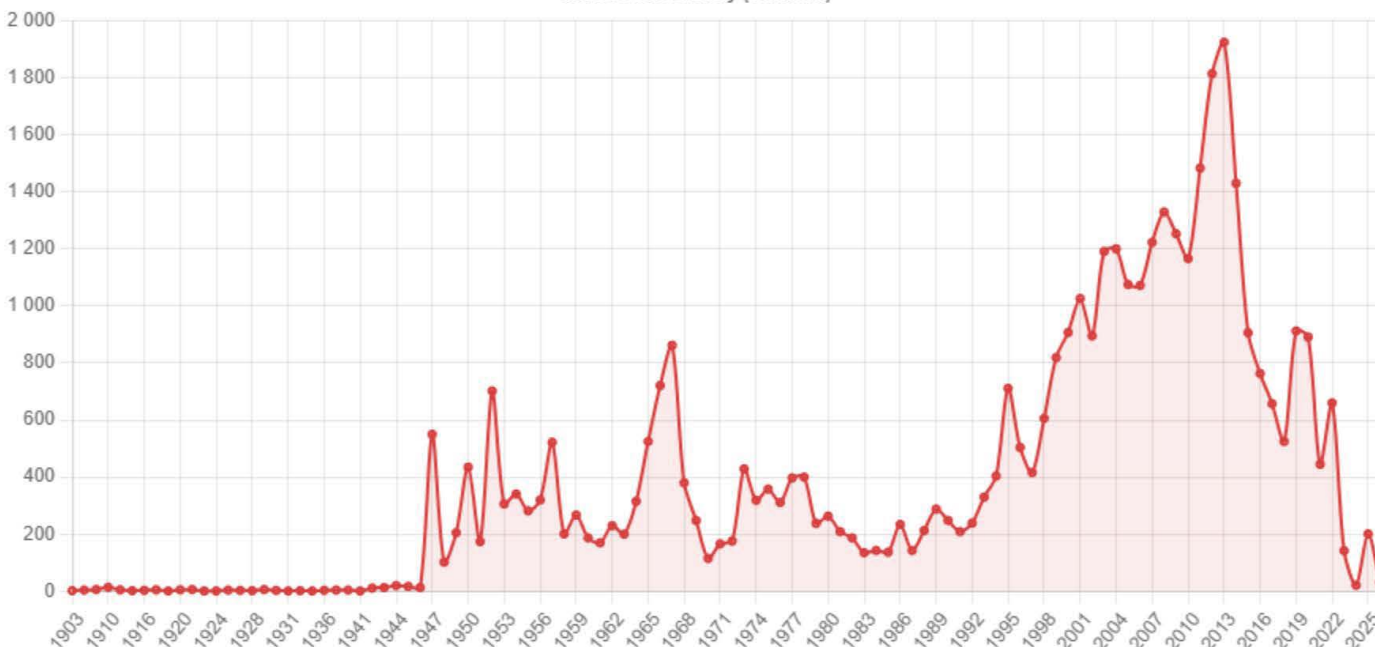
NEJČASTĚJŠÍ TVAR

TRIANGLE

PODÍL NOČNÍCH JEVŮ

70%

Časová osa aktivity (Timeline)



Tento dokument je automaticky generovaný na základě dostupných historických dat. Nemusí reflektovat kompletní realitu všech pozorování. Zdroje dat: NUFORC, GEIPAN, Záře.

ANALÝZA UAP: ANALÝZA: HROMADNÁ SVĚDECTVÍ

27. 2. 2026
REF: AUTO-GEN-001

Generated by UAP Interactive Map

AI Insight

Případy s velkým počtem svědků, často v obydlených oblastech, školách nebo při veřejných akcích.

Note: Map will reset after closing this report.

Tento dokument představuje automatickou analýzu pozorování neidentifikovaných anomálních jevů (UAP) pro oblast **Analýza: Hromadná svědectví** v časovém rozmezí let **1902 až 2025**. Celkem bylo v této oblasti a období zaznamenáno **3944** validních hlášení.

Významným bodem v časové ose je rok **2013**, kdy došlo k nejvyšší koncentraci hlášení (210 případů).

Z hlediska morfologie objektů převažují následující tvary:

- **LIGHT** (473x)
- **TRIANGLE** (395x)
- **DISC** (379x)

Analýza denní doby ukazuje, že **2439** pozorování proběhlo v noci (19:00–05:59), zatímco **1019** případů bylo hlášeno během dne. U **486** případů není čas přesně určen.

CELKEM POZOROVÁNÍ

3944

VRCHOLNÝ ROK

2013

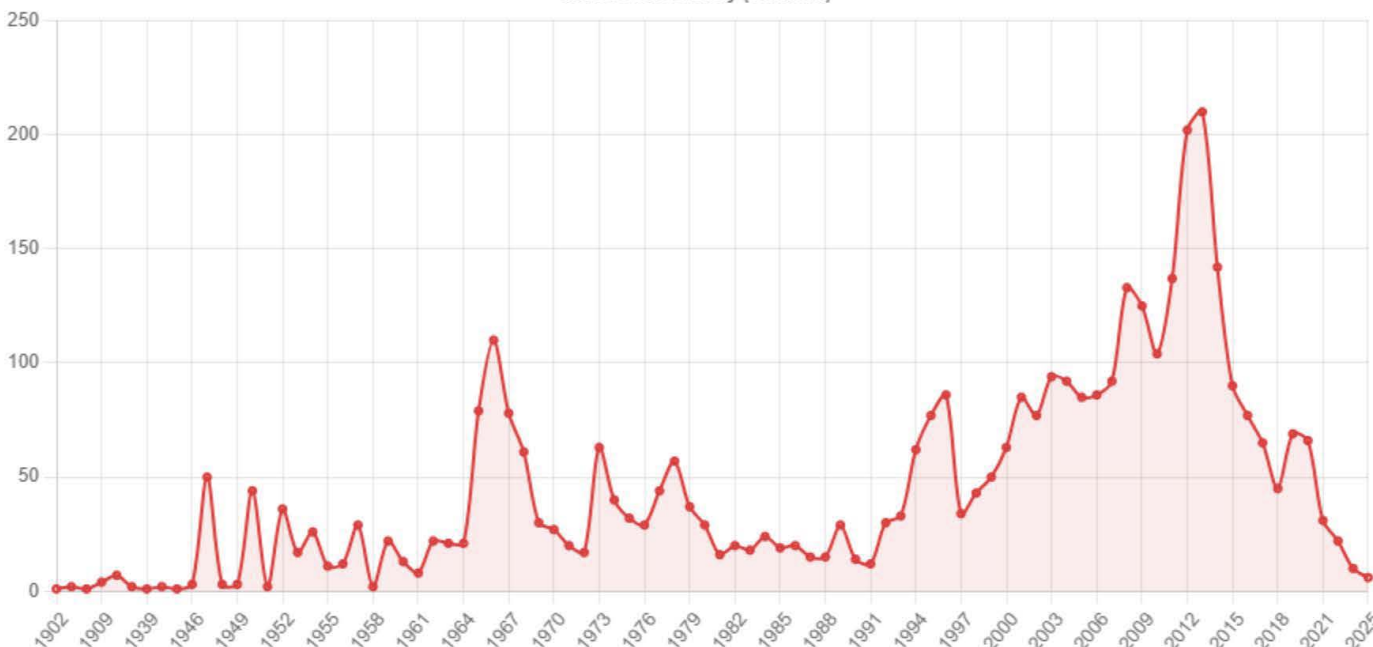
NEJČASTĚJŠÍ TVAR

LIGHT

PODÍL NOČNÍCH JEVŮ

71%

Časová osa aktivity (Timeline)



Tento dokument je automaticky generovaný na základě dostupných historických dat. Nemusí reflektovat kompletní realitu všech pozorování. Zdroje dat: NUFORC, GEIPAN, Záře.

ANALÝZA UAP: ANALÝZA: JADERNÁ SOUVISLOST

27. 2. 2026
REF: AUTO-GEN-001

Generated by UAP Interactive Map

AI Insight

Detekce výskytu v blízkosti strategických jaderných a vojenských zařízení.

Note: Map will reset after closing this report.

Tento dokument představuje automatickou analýzu pozorování neidentifikovaných anomálních jevů (UAP) pro oblast **Analýza: Jaderná souvislost** v časovém rozmezí let **1908 až 2025**. Celkem bylo v této oblasti a období zaznamenáno **7220** validních hlášení.

Významným bodem v časové ose je rok **1952**, kdy došlo k nejvyšší koncentraci hlášení (761 případů).

Z hlediska morfologie objektů převažují následující tvary:

- **DISC** (831x)
- **LIGHT** (482x)
- **TRIANGLE** (228x)

Analýza denní doby ukazuje, že **3396** pozorování proběhlo v noci (19:00–05:59), zatímco **2007** případů bylo hlášeno během dne. U **1817** případů není čas přesně určen.

CELKEM POZOROVÁNÍ

7220

VRCHOLNÝ ROK

1952

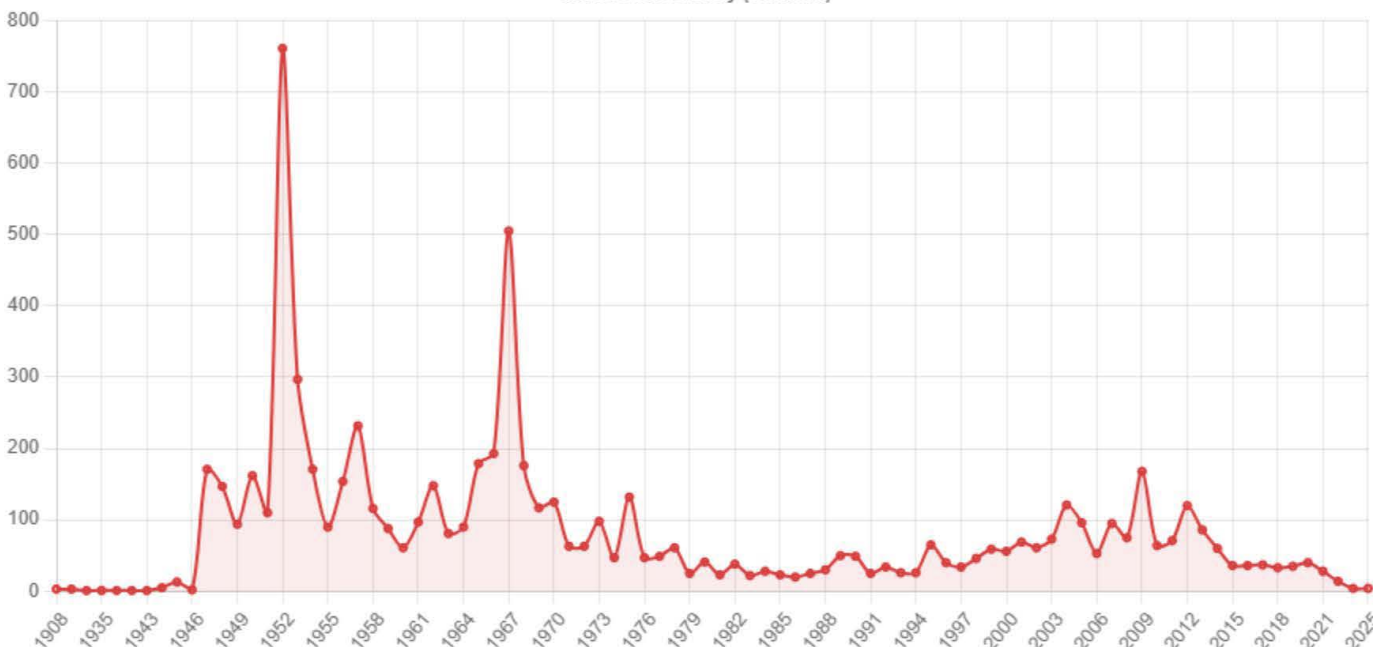
NEJČASTĚJŠÍ TVAR

DISC

PODÍL NOČNÍCH JEVŮ

63%

Časová osa aktivity (Timeline)



Tento dokument je automaticky generovaný na základě dostupných historických dat. Nemusí reflektovat kompletní realitu všech pozorování. Zdroje dat: NUFORC, GEIPAN, Záře.

ANALÝZA UAP: ANALÝZA: INTERAKCE S VĚDOMÍM

27. 2. 2026
REF: AUTO-GEN-001

Generated by UAP Interactive Map

AI Insight

Případy obsahující popisy silných emocí, změněných stavů vědomí, telepatie nebo 'Oz faktoru' (ticho, izolace).

Note: Map will reset after closing this report.

Tento dokument představuje automatickou analýzu pozorování neidentifikovaných anomálních jevů (UAP) pro oblast **Analýza: Interakce s vědomím** v časovém rozmezí let **1902 až 2026**. Celkem bylo v této oblasti a období zaznamenáno **12006** validních hlášení.

Významným bodem v časové ose je rok **1995**, kdy došlo k nejvyšší koncentraci hlášení (486 případů).

Z hlediska morfologie objektů převažují následující tvary:

- **LIGHT** (1253x)
- **TRIANGLE** (1134x)
- **DISC** (1095x)

Analýza denní doby ukazuje, že **8166** pozorování proběhlo v noci (19:00–05:59), zatímco **2301** případů bylo hlášeno během dne. U **1539** případů není čas přesně určen.

CELKEM POZOROVÁNÍ

12006

VRCHOLNÝ ROK

1995

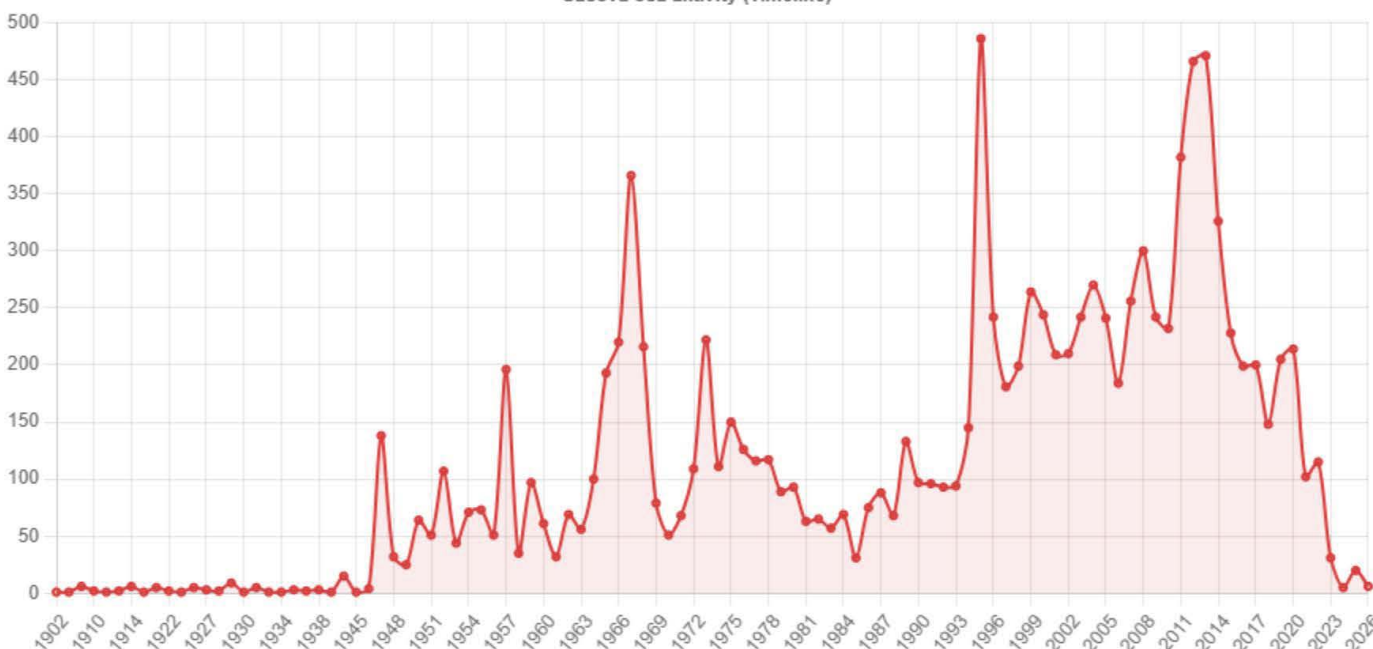
NEJČASTĚJŠÍ TVAR

LIGHT

PODÍL NOČNÍCH JEVŮ

78%

Časová osa aktivity (Timeline)



Tento dokument je automaticky generovaný na základě dostupných historických dat. Nemusí reflektovat kompletní realitu všech pozorování. Zdroje dat: NUFORC, GEIPAN, Záře.

ANALÝZA UAP: ANALÝZA: ROJOVÉ UDÁLOSTI

27. 2. 2026
REF: AUTO-GEN-001

Generated by UAP Interactive Map

AI Insight

Zobrazeny dny s extrémní aktivitou (>30 hlášení/den), indikující 'UFO Flaps'.

Note: Map will reset after closing this report.

Tento dokument představuje automatickou analýzu pozorování neidentifikovaných anomálních jevů (UAP) pro oblast **Analýza: Rojové události** v časovém rozmezí let **1909 až 2025**. Celkem bylo v této oblasti a období zaznamenáno **66414** validních hlášení.

Významným bodem v časové ose je rok **2013**, kdy došlo k nejvyšší koncentraci hlášení (6605 případů).

Z hlediska morfologie objektů převažují následující tvary:

- **LIGHT** (6599x)
- **DISC** (5454x)
- **FIREBALL** (3995x)

Analýza denní doby ukazuje, že **37172** pozorování proběhlo v noci (19:00–05:59), zatímco **12224** případů bylo hlášeno během dne. U **17018** případů není čas přesně určen.

CELKEM POZOROVÁNÍ

66414

VRCHOLNÝ ROK

2013

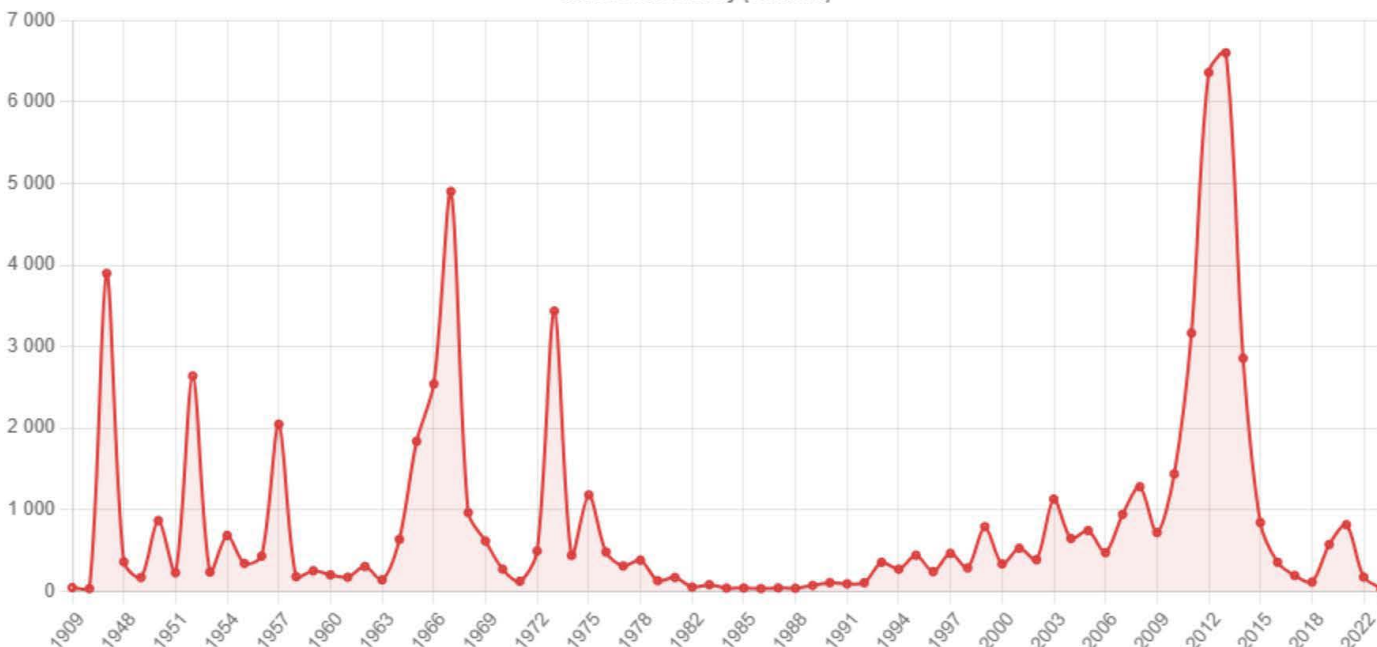
NEJČASTĚJŠÍ TVAR

LIGHT

PODÍL NOČNÍCH JEVŮ

75%

Časová osa aktivity (Timeline)



Tento dokument je automaticky generovaný na základě dostupných historických dat. Nemusí reflektovat kompletní realitu všech pozorování. Zdroje dat: NUFORC, GEIPAN, Záře.

ANALÝZA UAP: ANALÝZA: ABSENCE

ZVUKOVÉ STOPY

27. 2. 2026
REF: AUTO-GEN-
001

Generated by UAP Interactive Map

AI Insight

Fyzikální anomálie: Velké objekty pohybující se vysokou rychlostí nebo vznášející se zcela bez hluku.

Note: Map will reset after closing this report.

Tento dokument představuje automatickou analýzu pozorování neidentifikovaných anomálních jevů (UAP) pro oblast **Analýza: Absence zvukové stopy** v časovém rozmezí let **1909 až 2026**. Celkem bylo v této oblasti a období zaznamenáno **12885** validních hlášení.

Významným bodem v časové ose je rok **2012**, kdy došlo k nejvyšší koncentraci hlášení (937 případů).

Z hlediska morfologie objektů převažují následující tvary:

- **TRIANGLE** (2222x)
- **LIGHT** (1429x)
- **DISC** (792x)

Analýza denní doby ukazuje, že **9839** pozorování proběhlo v noci (19:00–05:59), zatímco **2476** případů bylo hlášeno během dne. U **570** případů není čas přesně určen.

CELKEM POZOROVÁNÍ

12885

VRCHOLNÝ ROK

2012

NEJČASTĚJŠÍ TVAR

TRIANGLE

PODÍL NOČNÍCH JEVŮ

80%

Časová osa aktivity (Timeline)



Tento dokument je automaticky generovaný na základě dostupných historických dat. Nemusí reflektovat kompletní realitu všech pozorování. Zdroje dat: NUFORC, GEIPAN, Záře.

Generated by UAP Interactive Map

AI Insight

Filtrováno na velké trojúhelníkové objekty (často černé, tiché, nízko letící).

Note: Map will reset after closing this report.

Tento dokument představuje automatickou analýzu pozorování neidentifikovaných anomálních jevů (UAP) pro oblast **Analýza: Trojúhelníky** v časovém rozmezí let **1930 až 2026**. Celkem bylo v této oblasti a období zaznamenáno **23293** validních hlášení.

Významným bodem v časové ose je rok **2012**, kdy došlo k nejvyšší koncentraci hlášení (1421 případů).

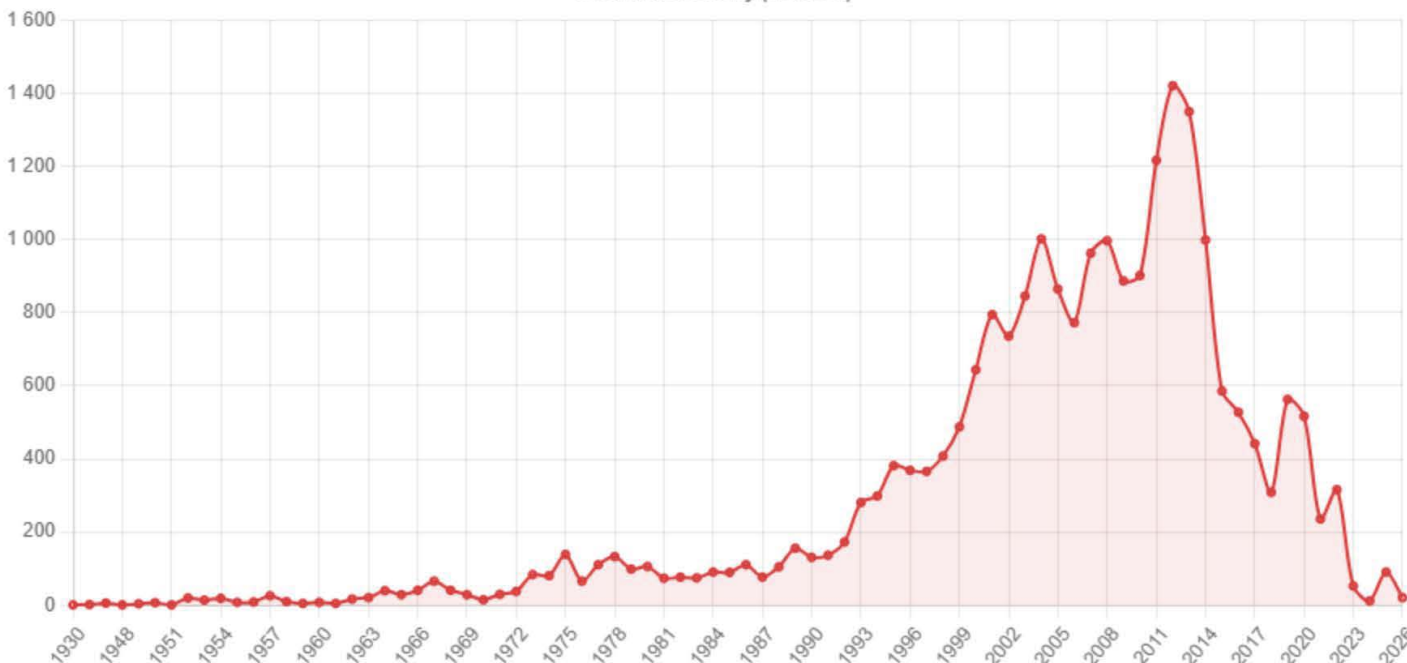
Z hlediska morfologie objektů převažují následující tvary:

- **TRIANGLE** (20940x)
- **LIGHTS** (313x)
- **LIGHT** (241x)

Analýza denní doby ukazuje, že **18487** pozorování proběhlo v noci (19:00–05:59), zatímco **4207** případů bylo hlášeno během dne. U **599** případů není čas přesně určen.

CELKEM POZOROVÁNÍ
23293VRCHOLNÝ ROK
2012NEJČASTĚJŠÍ TVAR
TRIANGLEPODÍL NOČNÍCH JEVŮ
81%

Časová osa aktivity (Timeline)



Tento dokument je automaticky generovaný na základě dostupných historických dat. Nemusí reflektovat kompletní realitu všech pozorování. Zdroje dat: NUFORC, GEIPAN, Záře.

ANALÝZA UAP: ANALÝZA: ČASOVÁ ANOMÁLIE (>30 MIN)

27. 2. 2026
REF: AUTO-
GEN-001

Generated by UAP Interactive Map

AI Insight

Filtr vylučuje krátkodobé jevy (meteory, světlice). Zaměřeno na objekty, které se v oblasti zdržovaly dlouhodobě.

Note: Map will reset after closing this report.

Tento dokument představuje automatickou analýzu pozorování neidentifikovaných anomálních jevů (UAP) pro oblast **Analýza: Časová anomálie (>30 min)** v časovém rozmezí let **1929 až 2026**. Celkem bylo v této oblasti a období zaznamenáno **2527** validních hlášení.

Významným bodem v časové ose je rok **2012**, kdy došlo k nejvyšší koncentraci hlášení (117 případů).

Z hlediska morfologie objektů převažují následující tvary:

- **LIGHT** (426x)
- **DISC** (232x)
- **TRIANGLE** (169x)

Analýza denní doby ukazuje, že **1710** pozorování proběhlo v noci (19:00–05:59), zatímco **581** případů bylo hlášeno během dne. U **236** případů není čas přesně určen.

CELKEM POZOROVÁNÍ

2527

VRCHOLNÝ ROK

2012

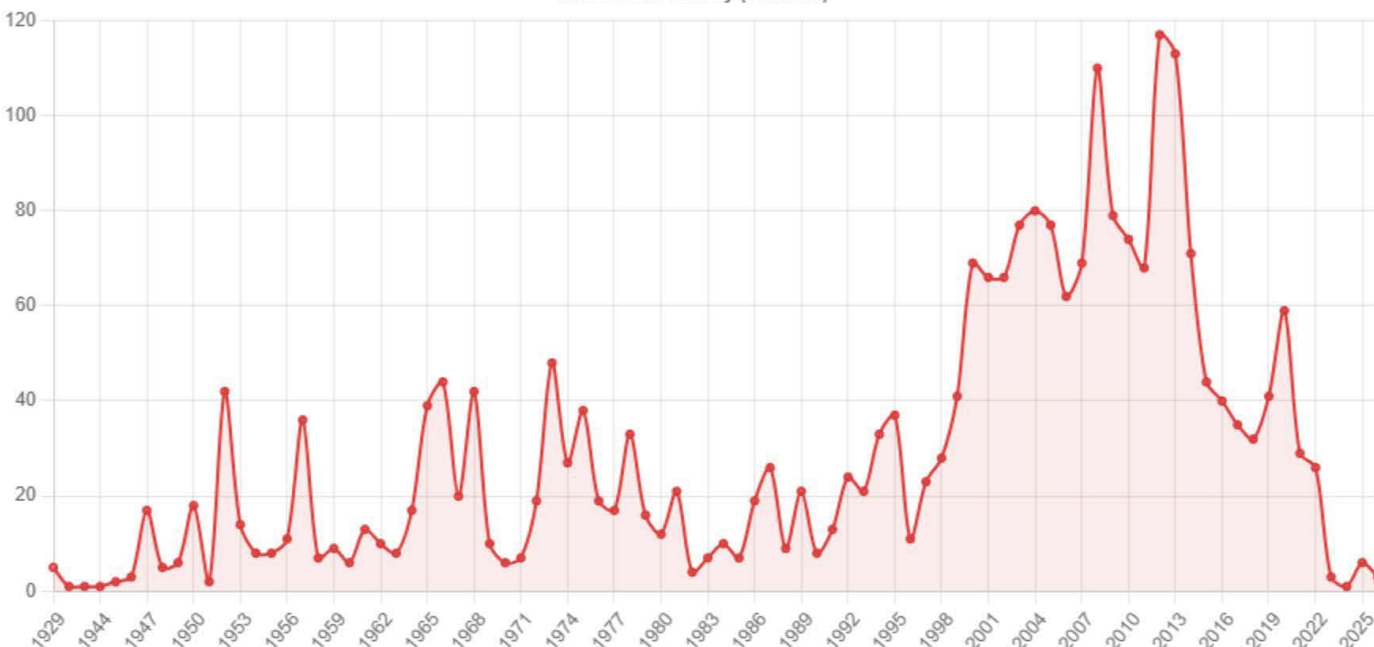
NEJČASTĚJŠÍ TVAR

LIGHT

PODÍL NOČNÍCH JEJŮ

75%

Časová osa aktivity (Timeline)



Tento dokument je automaticky generovaný na základě dostupných historických dat. Nemusí reflektovat kompletní realitu všech pozorování. Zdroje dat: NUFORC, GEIPAN, Záře.

ANALÝZA UAP: ANALÝZA: VOJENSKÁ A RADAROVÁ DATA

27. 2. 2026
REF: AUTO-
GEN-001

Generated by UAP Interactive Map

AI Insight

Případy zahrnující vojenský personál, základny nebo radarová potvrzení. Často spojené s jadernými zařízeními.

Note: Map will reset after closing this report.

Tento dokument představuje automatickou analýzu pozorování neidentifikovaných anomálních jevů (UAP) pro oblast **Analýza: Vojenská a radarová data** v časovém rozmezí let **1908 až 2026**. Celkem bylo v této oblasti a období zaznamenáno **9620** validních hlášení.

Významným bodem v časové ose je rok **1952**, kdy došlo k nejvyšší koncentraci hlášení (592 případů).

Z hlediska morfologie objektů převažují následující tvary:

- **DISC** (957x)
- **LIGHT** (861x)
- **TRIANGLE** (475x)

Analýza denní doby ukazuje, že **5250** pozorování proběhlo v noci (19:00–05:59), zatímco **3016** případů bylo hlášeno během dne. U **1354** případů není čas přesně určen.

CELKEM POZOROVÁNÍ

9620

VRCHOLNÝ ROK

1952

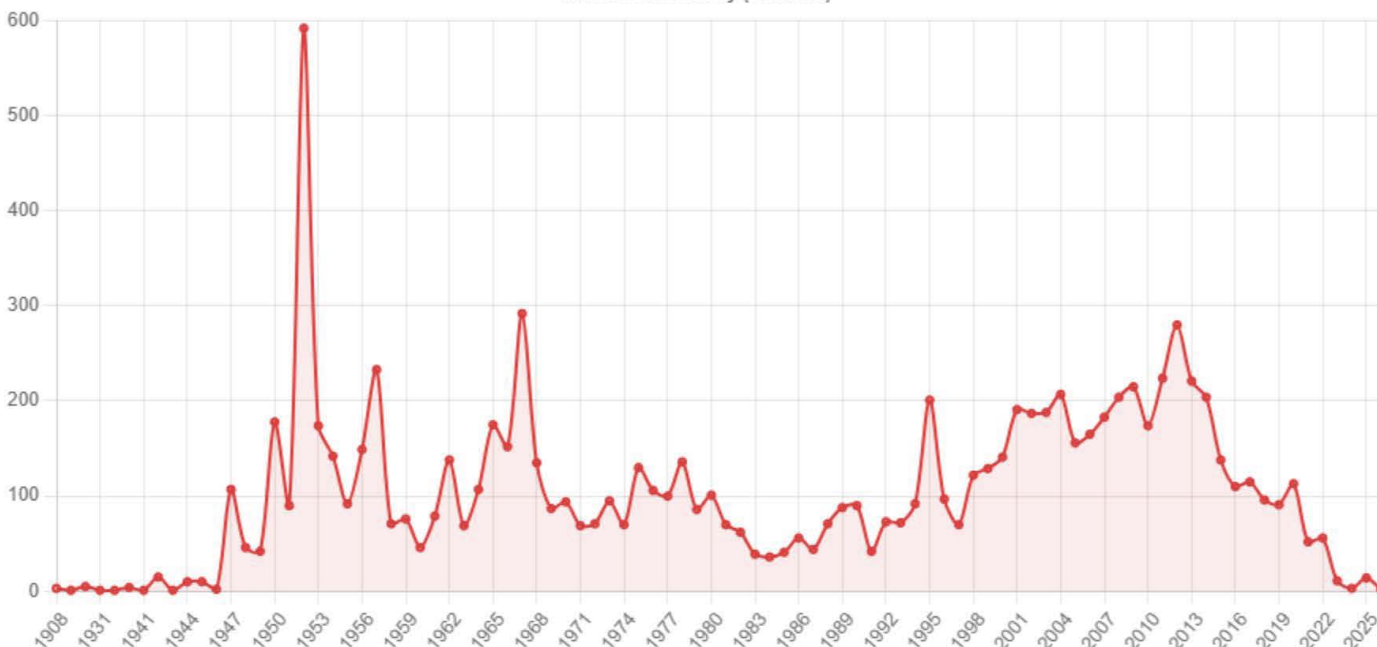
NEJČASTĚJŠÍ TVAR

DISC

PODÍL NOČNÍCH JEVŮ

64%

Časová osa aktivity (Timeline)



Tento dokument je automaticky generovaný na základě dostupných historických dat. Nemusí reflektovat kompletní realitu všech pozorování. Zdroje dat: NUFORC, GEIPAN, Záře.

ANALÝZA UAP: ANALÝZA: VODNÍ SVĚTY (USO)

27. 2. 2026
REF: AUTO-GEN-001

Generated by UAP Interactive Map

AI Insight

Filtrováno na výskyt USO (Unidentified Submerged Objects) a pozorování nad vodními plochami.

Note: Map will reset after closing this report.

Tento dokument představuje automatickou analýzu pozorování neidentifikovaných anomálních jevů (UAP) pro oblast **Analýza: Vodní světy (USO)** v časovém rozmezí let **1901 až 2026**. Celkem bylo v této oblasti a období zaznamenáno **29917** validních hlášení.

Významným bodem v časové ose je rok **2012**, kdy došlo k nejvyšší koncentraci hlášení (1698 případů).

Z hlediska morfologie objektů převažují následující tvary:

- **LIGHT** (3945x)
- **DISC** (1909x)
- **TRIANGLE** (1777x)

Analýza denní doby ukazuje, že **19423** pozorování proběhlo v noci (19:00–05:59), zatímco **6471** případů bylo hlášeno během dne. U **4023** případů není čas přesně určen.

CELKEM POZOROVÁNÍ

29917

VRCHOLNÝ ROK

2012

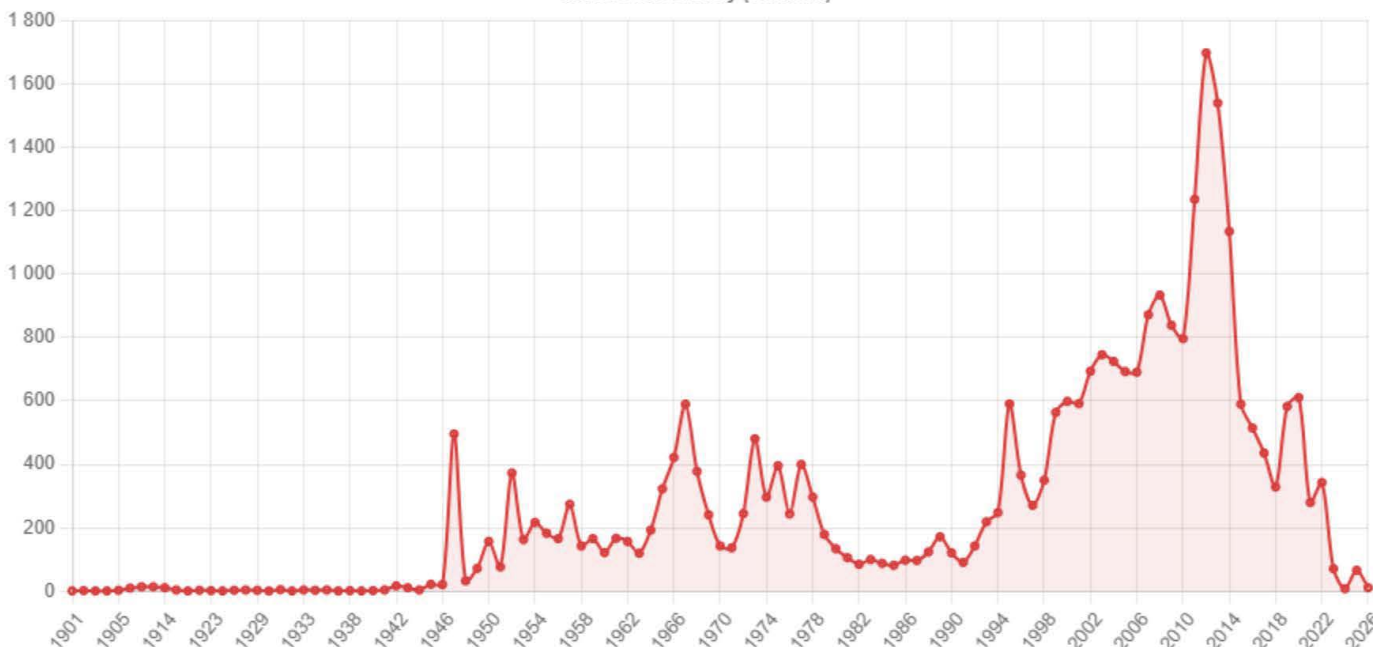
NEJČASTĚJŠÍ TVAR

LIGHT

PODÍL NOČNÍCH JEVŮ

75%

Časová osa aktivity (Timeline)



Tento dokument je automaticky generovaný na základě dostupných historických dat. Nemusí reflektovat kompletní realitu všech pozorování. Zdroje dat: NUFORC, GEIPAN, Záře.

ANALÝZA UAP: ANALÝZA: HISTORICKÁ EVOLUCE TVARŮ

27. 2. 2026
REF: AUTO-
GEN-001

Generated by UAP Interactive Map

AI Insight

Statistický pohled na to, jak se měnila morfologie hlášených objektů v průběhu desetiletí.

Note: Map will reset after closing this report.

Tento dokument představuje automatickou analýzu pozorování neidentifikovaných anomálních jevů (UAP) pro oblast **Analýza: Historická evoluce tvarů** v časovém rozmezí let **1941 až 2026**. Celkem bylo v této oblasti a období zaznamenáno **240986** validních hlášení.

Významným bodem v časové ose je rok **2012**, kdy došlo k nejvyšší koncentraci hlášení (14540 případů).

Z hlediska morfologie objektů převažují následující tvary:

- LIGHT** (40355x)
- TRIANGLE** (20937x)
- DISC** (19548x)

Analýza denní doby ukazuje, že **166754** pozorování proběhlo v noci (19:00–05:59), zatímco **58403** případů bylo hlášeno během dne. U **15829** případů není čas přesně určen.

CELKEM POZOROVÁNÍ

240986

VRCHOLNÝ ROK

2012

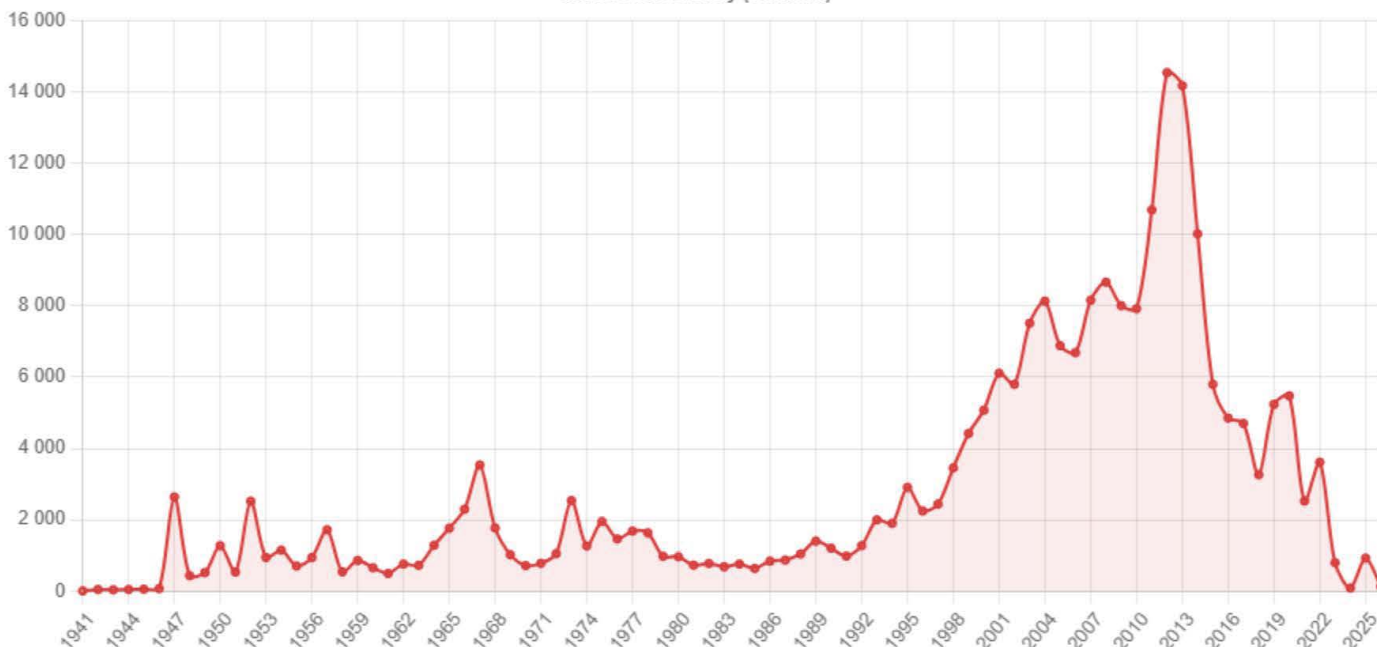
NEJČASTĚJŠÍ TVAR

LIGHT

PODÍL NOČNÍCH JEVŮ

74%

Časová osa aktivity (Timeline)



Tento dokument je automaticky generovaný na základě dostupných historických dat. Nemusí reflektovat kompletní realitu všech pozorování. Zdroje dat: NUFORC, GEIPAN, Záře.

Citované zdroje

1. Unidentified flying object - Wikipedia, použito února 27, 2026, https://en.wikipedia.org/wiki/Unidentified_flying_object
2. Investigation of UFO reports by the United States government - Wikipedia, použito února 27, 2026, https://en.wikipedia.org/wiki/Investigation_of_UFO_reports_by_the_United_States_government
3. Scientists are getting serious about UFOs. Here's why - Science News, použito února 27, 2026, <https://www.sciencenews.org/article/scientists-serious-ufo-uap-security>
4. Souhrnné zprávy.pdf
5. The enigma of the UFO named Tic Tac - ResearchGate, použito února 27, 2026, https://www.researchgate.net/publication/374575516_The_enigma_of_the_UFO_named_Tic_Tac
6. List of reported UFO sightings - Wikipedia, použito února 27, 2026, https://en.wikipedia.org/wiki/List_of_reported_UFO_sightings
7. Psychological perspectives on UFO claims - Wikipedia, použito února 27, 2026, https://en.wikipedia.org/wiki/Psychological_perspectives_on_UFO_claims
8. A brief history of UFOs: top 10 sightings & timeline - HistoryExtra, použito února 27, 2026, <https://www.historyextra.com/period/modern/brief-history-ufos-ufo-top-sightings-timeline/>
9. USAF and the UFOs | Air & Space Forces Magazine, použito února 27, 2026, <https://www.airandspaceforces.com/article/0611ufo/>
10. More Human than Alien: Researching the History of UFOs - American Historical Association, použito února 27, 2026, <https://www.historians.org/perspectives-article/more-human-than-alien-researching-the-history-of-ufos-march-2017/>
11. Unidentified flying object (UFO) | History, Sightings, & Facts - Britannica, použito února 27, 2026, <https://www.britannica.com/topic/unidentified-flying-object>
12. 1952 Washington, D.C. UFO incident - Wikipedia, použito února 27, 2026, https://en.wikipedia.org/wiki/1952_Washington,_D.C._UFO_incident
13. In The Early 1950s, D.C. Was Obsessed With UFOs. Here's Why | DCist, použito února 27, 2026, <https://dcist.com/story/19/12/09/in-the-early-1950s-d-c-was-obsessed-with-ufos-heres-why/>
14. The 1952 Washington D.C. UFO Incident - Science - HowStuffWorks, použito února 27, 2026, <https://science.howstuffworks.com/space/aliens-ufos/ufo-government5.htm>
15. The 1952 Washington D.C. UFO Incidents That Shocked the White House - Vision Times, použito února 27, 2026, <https://www.visiontimes.com/2026/02/10/the-1952-washington-d-c-ufo-incidents-that-shocked-the-white-house.html>
16. CIA's Role in the Study of UFOs, 1947-90 - Government Secrecy, použito února 27, 2026, <https://sgp.fas.org/library/ciaufu.html>
17. Social Media Report 2012: Social Media Comes of Age - Nielsen, použito února 27, 2026, <https://www.nielsen.com/insights/2012/social-media-report-2012-social-media-comes-of-age/>

18. The End of Time The Maya Mystery of 2012 - YouTube, použito února 27, 2026, <https://www.youtube.com/watch?v=4roz-DGShmc>
19. The 2012 Apocalypse - With Andrew Kinkella - Digging up Ancient Aliens!, použito února 27, 2026, <https://diggingupancientaliens.com/episode-63-2012-apocalypse.html>
20. 2012. Mayan prophecies and Crop circles - Culture Unplugged, použito února 27, 2026, <https://www.cultureunplugged.com/documentary/watch-online/play/7970/2012-mayan-prophecies-and-crop-circles>
21. A Divine Date - Apocalypse 2012 Revelations - YouTube, použito února 27, 2026, <https://www.youtube.com/watch?v=RyCu6zzdCzw>
22. Affordances and the Sensual Ecology of UFO Sightings | Theory and Social Inquiry, použito února 27, 2026, <https://www.theoryandsocialinquiry.org/article/id/18917/>
23. UFO reports declining: Several social factors involved - Sharon A. Hill, použito února 27, 2026, <https://sharonahill.com/ufo-reports-declining-several-social-factors-involved/>
24. Starlink satellites: Facts, tracking and impact on astronomy - Space, použito února 27, 2026, <https://www.space.com/spacex-starlink-satellites.html>
25. SpaceX: UFO reports surge after Elon Musk launches ‚eerie‘ satellite train | The Independent, použito února 27, 2026, <https://www.the-independent.com/tech/spacex-satellite-ufo-internet-elon-musk-starlink-a9473896.html>
26. DOD: Nearly 800 UAP Reports Received in Past Year - FLYING Magazine, použito února 27, 2026, <https://www.flyingmag.com/dod-nearly-800-uap-reports-received-in-past-year/>
27. Correlations of Starlink Satellite Flaring with UAP Observations - AARO, použito února 27, 2026, https://www.aaro.mil/Portals/136/PDFs/Information%20Papers/AARO_Satellite_Flaring_Paper_508_FINAL_04222025.pdf
28. Starlink Launch Statistics - Jonathan's Space Report, použito února 27, 2026, <https://planet4589.org/space/con/star/stats.html>
29. UFO reports and atomic sites - Wikipedia, použito února 27, 2026, https://en.wikipedia.org/wiki/UFO_reports_and_atomic_sites
30. Study Links Mysterious Lights in The Sky to Historic Nuclear Tests - ScienceAlert, použito února 27, 2026, <https://www.sciencealert.com/study-links-mysterious-lights-in-the-sky-to-historic-nuclear-tests>
31. Scientists link UFOs from the pre-space age to nuclear tests - Universe Space Tech, použito února 27, 2026, <https://universemagazine.com/en/scientists-link-ufos-from-the-pre-space-age-to-nuclear-tests/>
32. Could these mysterious flashes of light in 1950s photos be UFOs? Some researchers think so | Space, použito února 27, 2026, <https://www.space.com/space-exploration/search-for-life/were-unexplained-flashes-of-light-in-70-year-old-sky-surveys-caused-by-ufos-or-nuclear-testing-why-not-both-researchers-say>
33. Malmstrom UFO incident - Wikipedia, použito února 27, 2026, https://en.wikipedia.org/wiki/Malmstrom_UFO_incident
34. Did UFOs Really Disable Nuclear-Armed American Missiles in 1967? - Coffee or Die, použito února 27, 2026, <https://www.coffeeordie.com/ufo-disabled-nuclear-icbm>

35. 1976 Tehran UFO incident - Wikipedia, použito února 27, 2026, https://en.wikipedia.org/wiki/1976_Tehran_UFO_incident
36. UFO nad Vranovem – Wikipedie, použito února 27, 2026, https://cs.wikipedia.org/wiki/UFO_nad_Vranovem
37. Rozkaz k palbě. Československá armáda vs. UFO nad Vranovskou přehradou | Aktuálně.cz, použito února 27, 2026, <https://magazin.aktualne.cz/udajny-ufo--incident-nad-vranovskou-prehradou/r~d59bceba3b9b11f0bf960cc47ab5f122/v~sl:d3e76170a2c2a4f0481c90b56e878076/>
38. List of UFO sightings in the Czech Republic - Wikipedia, použito února 27, 2026, https://en.wikipedia.org/wiki/List_of_UFO_sightings_in_the_Czech_Republic
39. An environmental analysis of public UAP sightings and sky view potential - ResearchGate, použito února 27, 2026, https://www.researchgate.net/publication/376519968_An_environmental_analysis_of_public_UAP_sightings_and_sky_view_potential
40. Five Characteristics Unique to UAP's - To The Stars*, použito února 27, 2026, <https://tothestars.media/blogs/press-and-news/five-characteristics-unique-to-uaps>
41. The New Science of Unidentified Aerospace-Undersea Phenomena (UAP) - arXiv, použito února 27, 2026, <https://arxiv.org/html/2502.06794v1>
42. A Forensic Analysis of Navy Carrier Strike Group Eleven's Encounter with a an Anomalous Aerial Vehicle - Scientific Coalition for UAP Studies, použito února 27, 2026, <https://www.explorescu.org/post/2004-uss-nimitz-strike-navy-group-incident-report>
43. Five New Observables of UAP: Empirical Evidence of Dark Operational Warp Propulsion Systems - Scientific Research Publishing, použito února 27, 2026, <https://www.scirp.org/journal/paperinformation?paperid=146509>
44. UAP Theory (2025) A Fundamental Explanation of UAPs. - References - Scientific Research Publishing, použito února 27, 2026, <https://www.scirp.org/reference/referencespapers?referenceid=4111586>
45. The Oz Factor - Science | HowStuffWorks, použito února 27, 2026, <https://science.howstuffworks.com/space/aliens-ufos/oz-factor-ufo.htm>
46. Oz Factor | Encyclopedia.com, použito února 27, 2026, <https://www.encyclopedia.com/science/encyclopedias-almanacs-transcripts-and-maps/oz-factor>
47. Have you ever experienced the „Oz Factor”—eerie silence, changes in surroundings, feeling of dread—while in the woods or countryside (what happened)? : r/AskReddit, použito února 27, 2026, https://www.reddit.com/r/AskReddit/comments/dlahmi/have_you_ever_experienced_the_oz_factorreerie/
48. Neurological Effects of Encounters with Unidentified Aerial Phenomena - ResearchGate, použito února 27, 2026, https://www.researchgate.net/publication/396980847_Neurological_Effects_of_Encounters_with_Unidentified_Aerial_Phenomena
49. (PDF) Psychological aspects in unidentified anomalous phenomena (UAP) witnesses - ResearchGate, použito února 27, 2026, https://www.researchgate.net/publication/376441474_Psychological_aspects_in_unidentified_anomalous_phenomena_UAP_witnesses

50. The Surprising Psychology of UFO Reporting, použito února 27, 2026, <https://www.psychologytoday.com/us/blog/long-fuse-big-bang/202311/the-surprising-psychology-of-ufo-reporting>
51. Who Sees UFOs? The Relationship Between Unidentified Anomalous Phenomena Sightings and Personality Factors | Journal of Scientific Exploration, použito února 27, 2026, <https://journalofscientificexploration.org/index.php/jse/article/view/3153>
52. UFO sightings: the Will Smith effect examined. Plus, official ..., použito února 27, 2026, <https://www.theguardian.com/news/datablog/2009/aug/18/ufo-sightings-british-will-smith>
53. Report: UFO Sightings Coincide with Popular Sci-Fi Films, TV - Universe Today, použito února 27, 2026, <https://www.universetoday.com/articles/report-ufo-sightings-coincide-with-popular-sci-fi-films-tv>
54. How pop culture has shaped our understanding of aliens - The Guardian, použito února 27, 2026, <https://www.theguardian.com/culture/2021/jun/25/how-pop-culture-has-shaped-our-understanding-of-aliens>
55. Alien Abduction in the Cinema: A History from the 1950s to Today by Paul Meehan (2023), použito února 27, 2026, <https://www.popcultureshelf.com/alien-abduction-in-the-cinema-a-history-from-the-1950s-to-today-by-paul-meehan-2023/>
56. FDU Magazine: Lights, Camera, Alien Invasion, použito února 27, 2026, <https://portal.fdu.edu/newspubs/magazine/fw98/film.html>
57. Spatiotemporal Clustering with Neyman-Scott Processes via Connections to Bayesian Nonparametric Mixture Models - PMC, použito února 27, 2026, <https://pmc.ncbi.nlm.nih.gov/articles/PMC11412414/>
58. A Two-Phase Clustering Approach for Urban Hotspot Detection With Spatiotemporal and Network Constraints - IEEE Xplore, použito února 27, 2026, <https://ieeexplore.ieee.org/iel7/4609443/9314330/09384241.pdf>
59. (PDF) Spatiotemporal clustering: a review - ResearchGate, použito února 27, 2026, https://www.researchgate.net/publication/334476277_Spatiotemporal_clustering_a_review
60. Bayesian space-time gap filling for inference on extreme hot-spots: an application to Red Sea surface temperatures - Semantic Scholar, použito února 27, 2026, <https://www.semanticscholar.org/paper/Bayesian-space-time-gap-filling-for-inference-on-an-Castro-Camilo-Mhalla/e239c7e9db69748fc6df007cc51ae19bf29d1942>
61. Spatio-temporal prediction and reconstruction network for video anomaly detection - PMC, použito února 27, 2026, <https://pmc.ncbi.nlm.nih.gov/articles/PMC9135234/>
62. 8 Anomaly Detection Algorithms to Know | Built In, použito února 27, 2026, <https://builtin.com/machine-learning/anomaly-detection-algorithms>